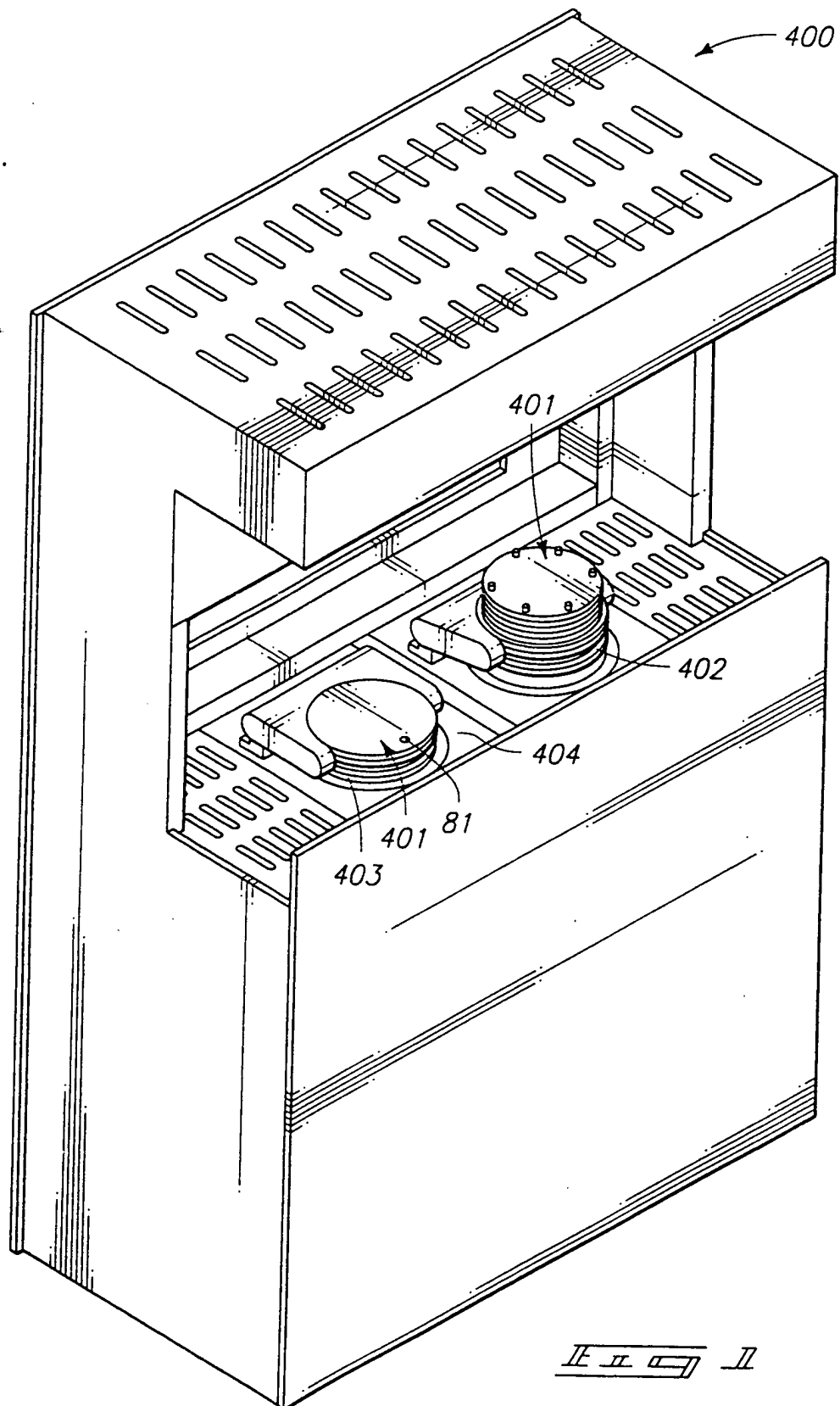
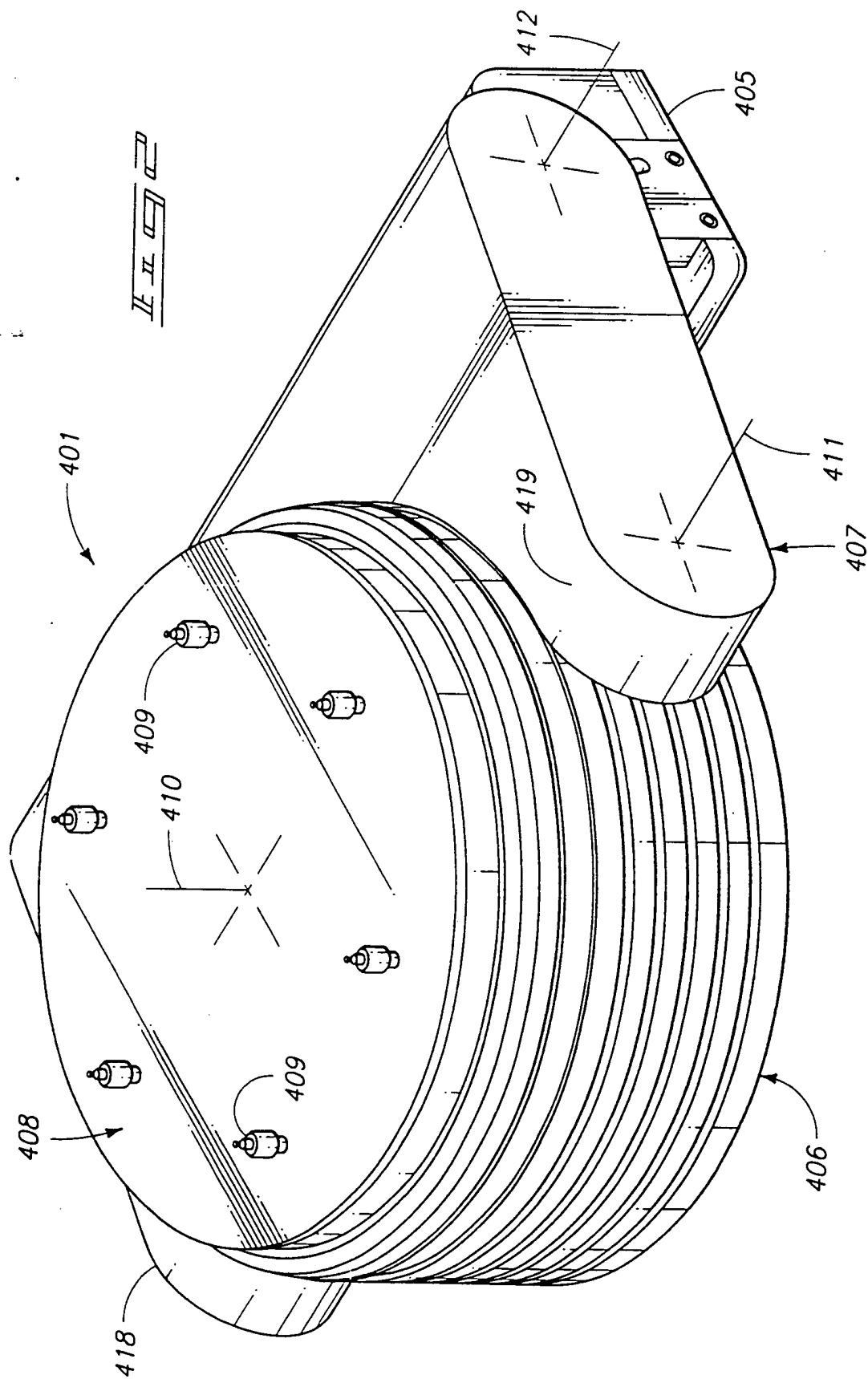
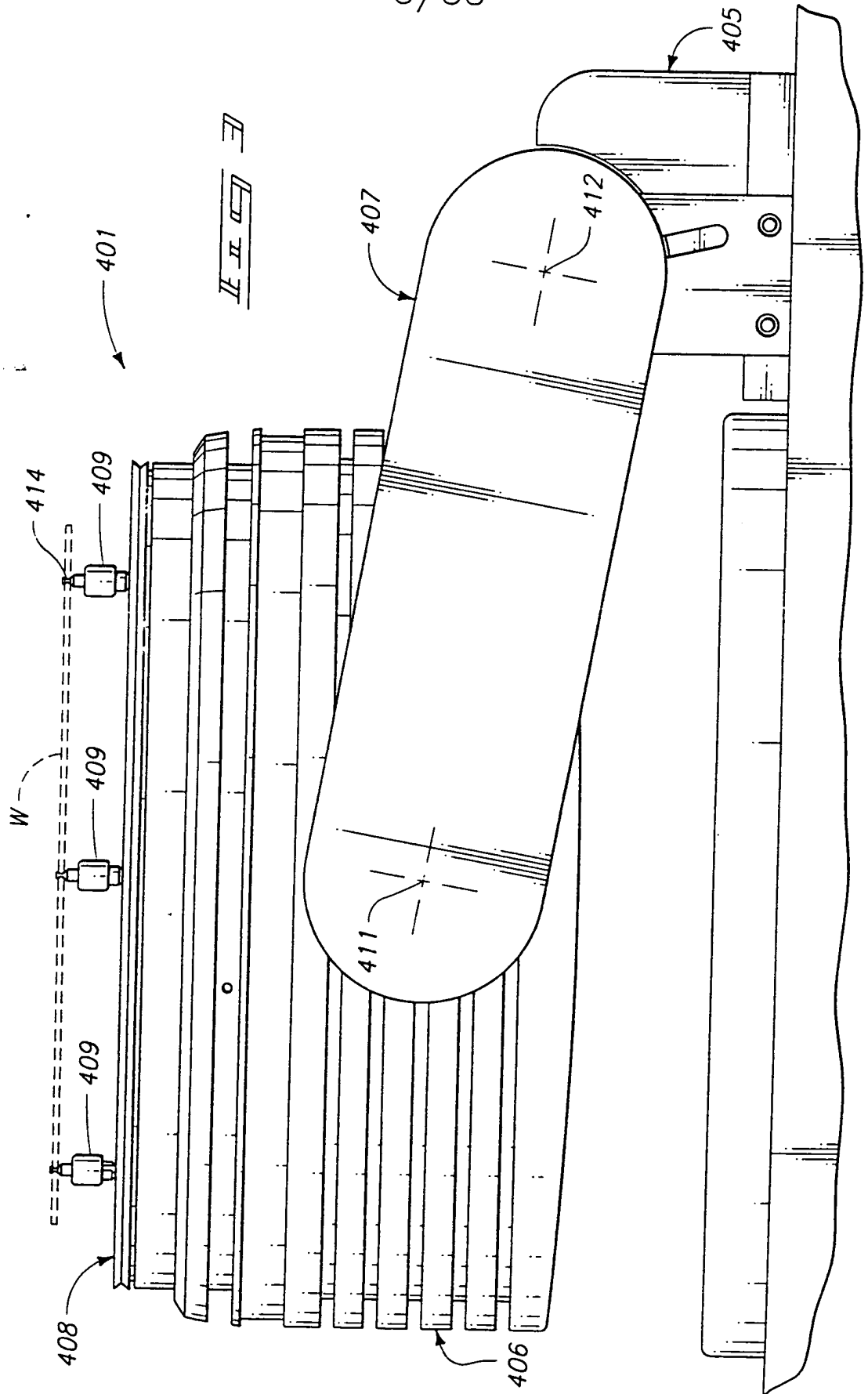


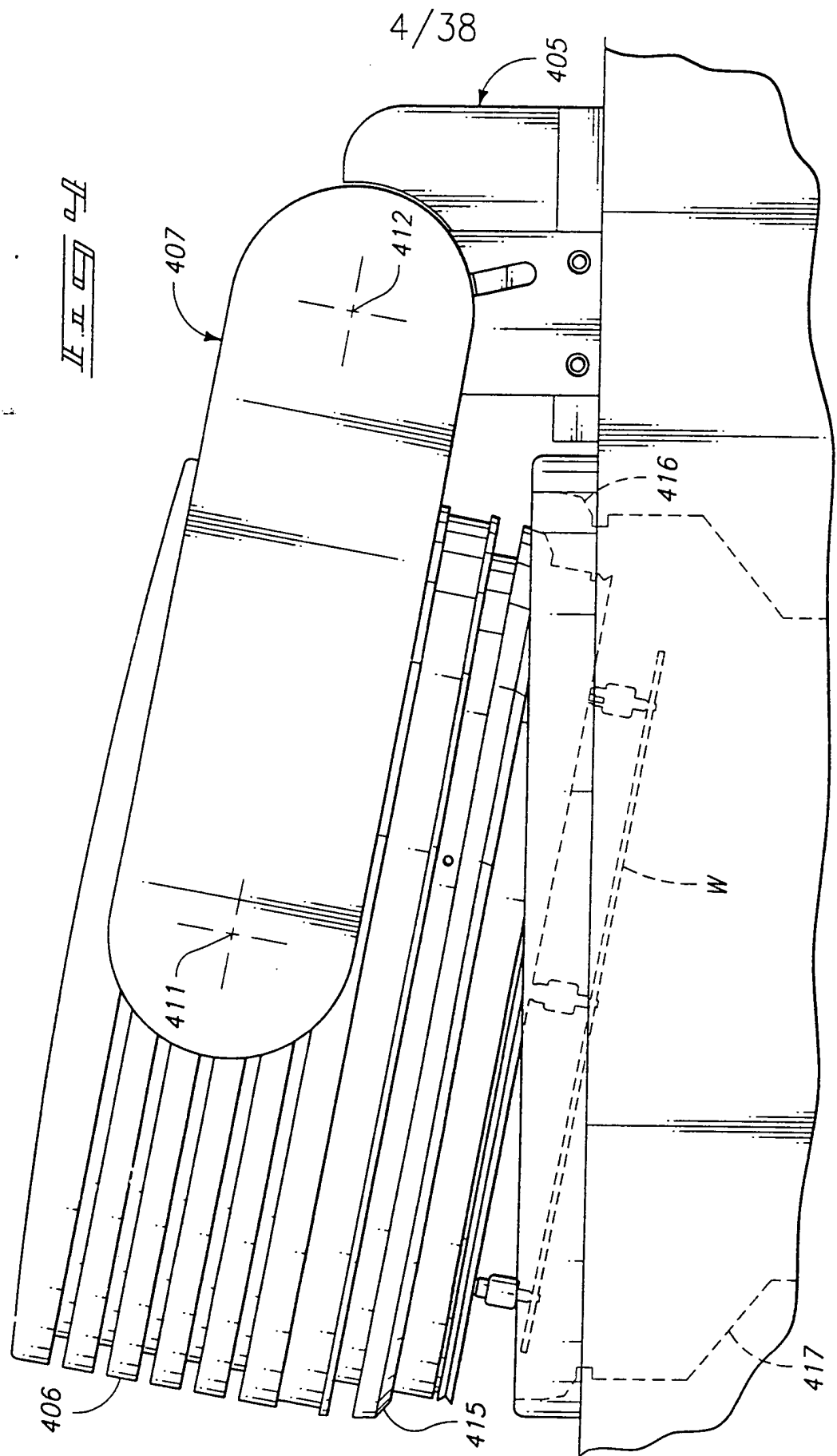
1/38







4/38



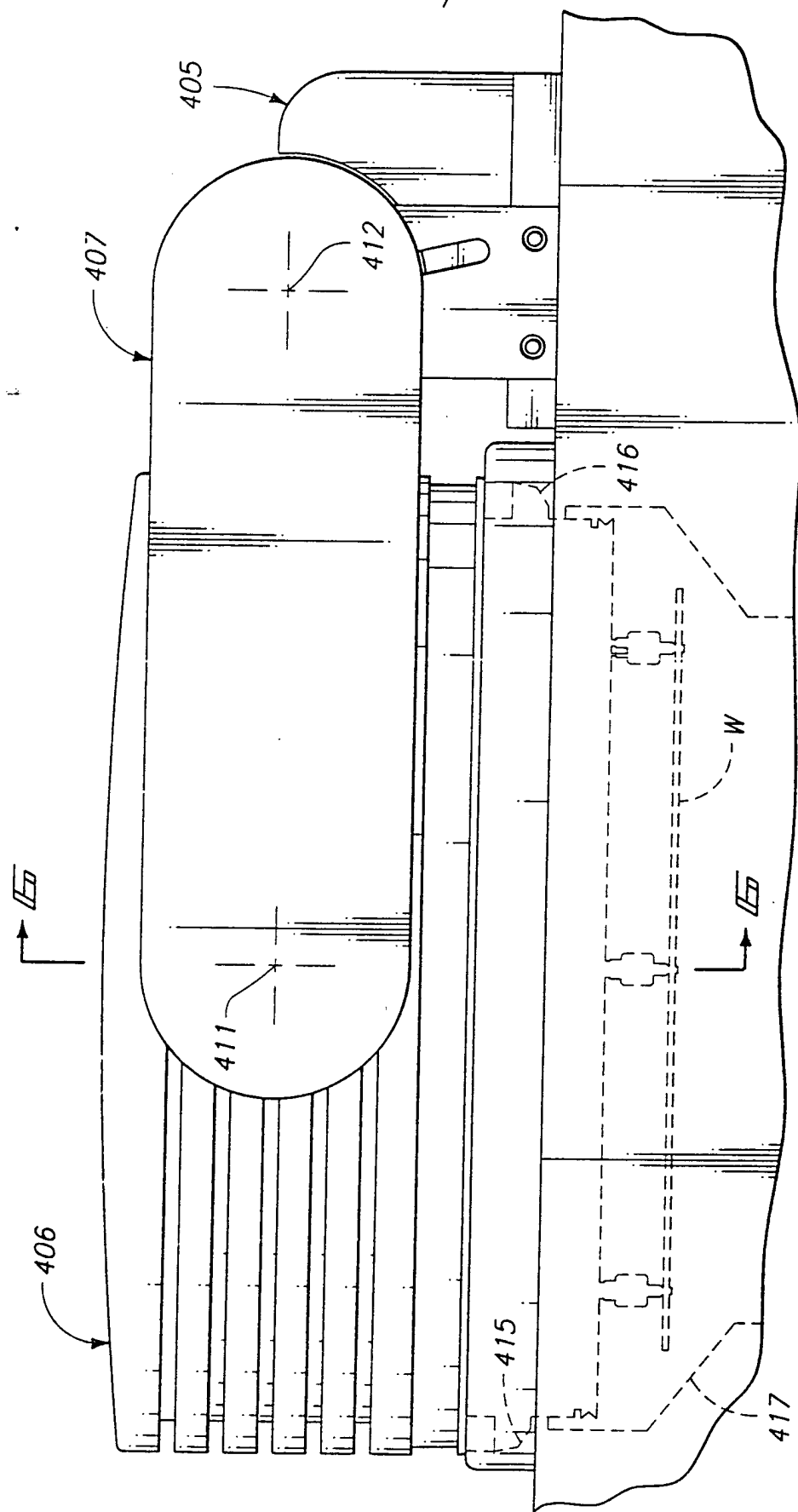
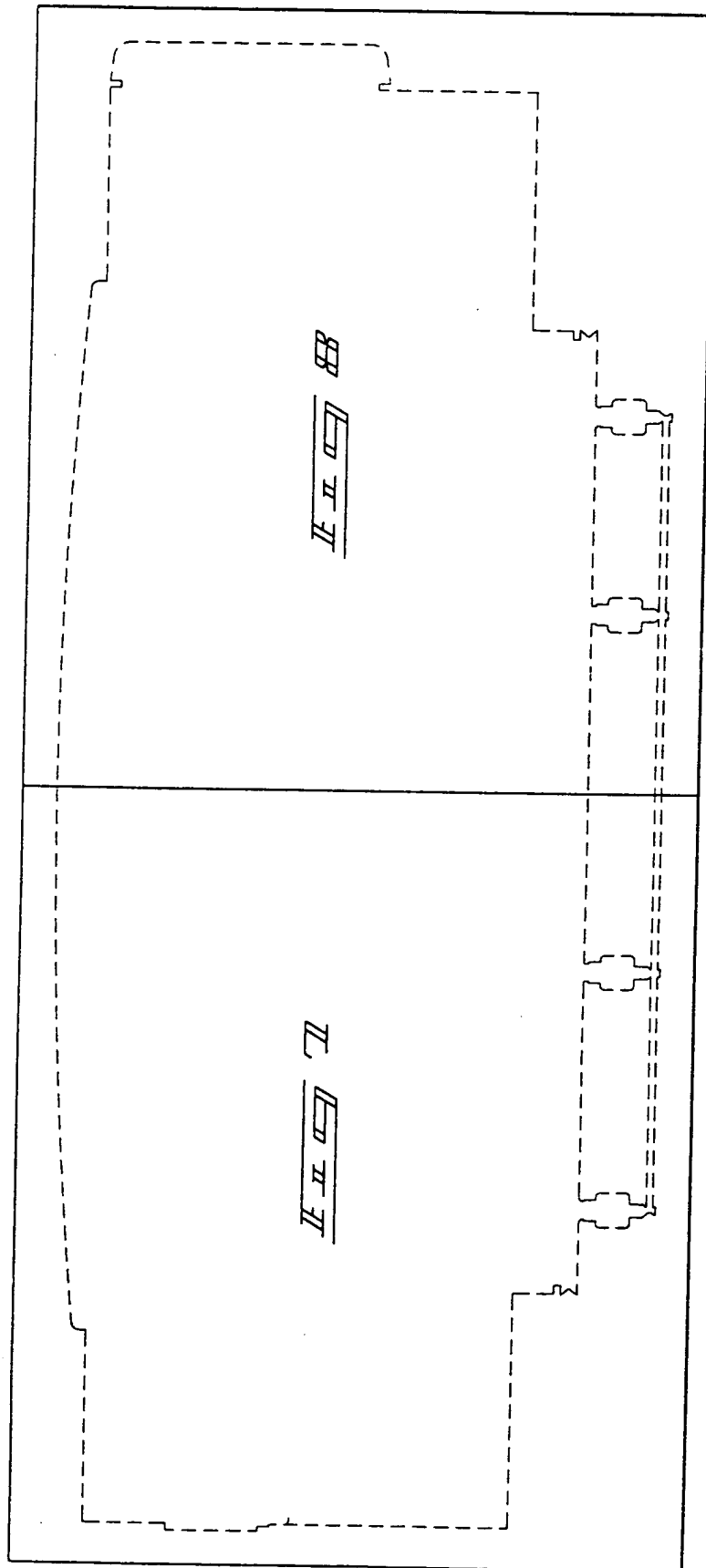


FIG. 5

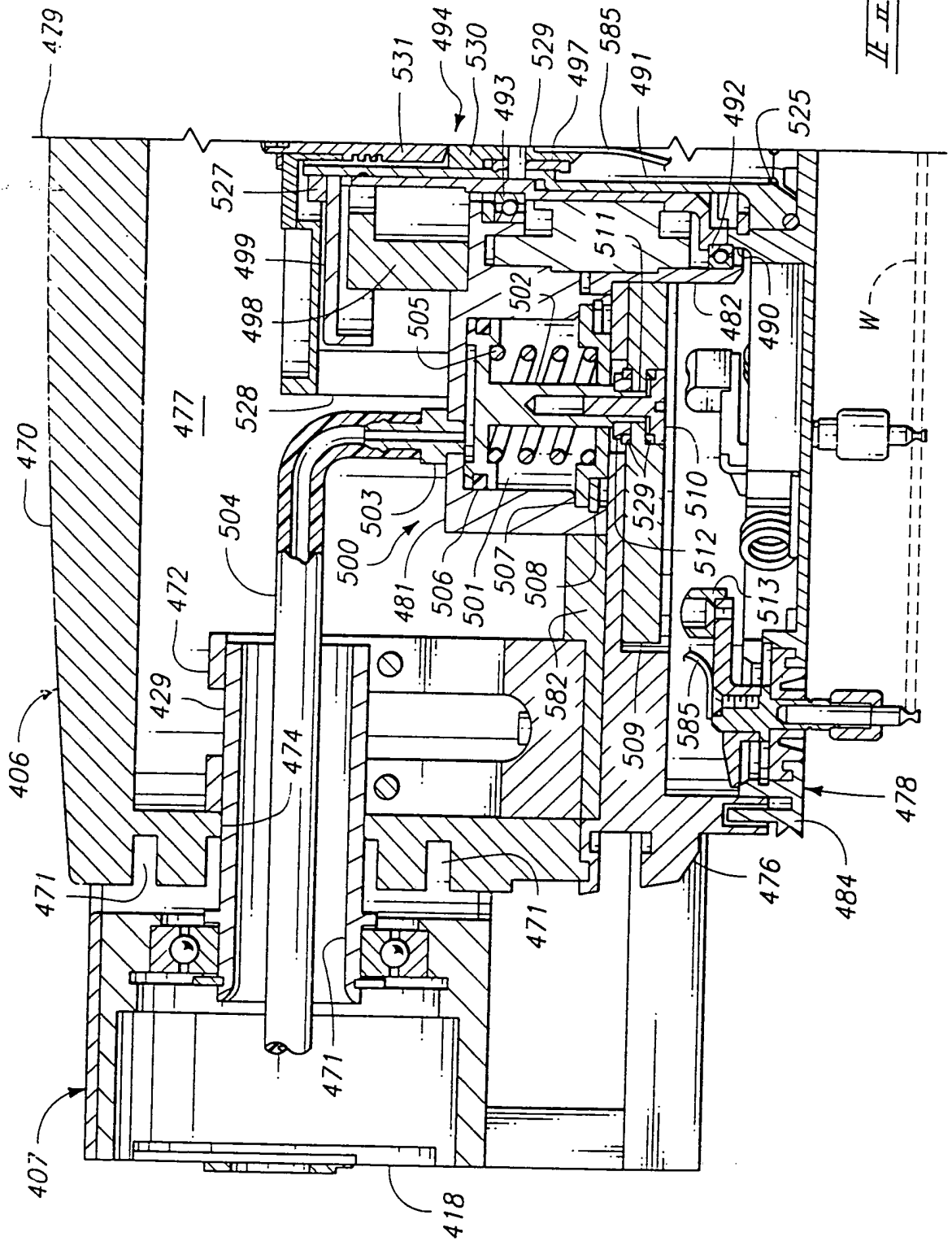


IL 11 11

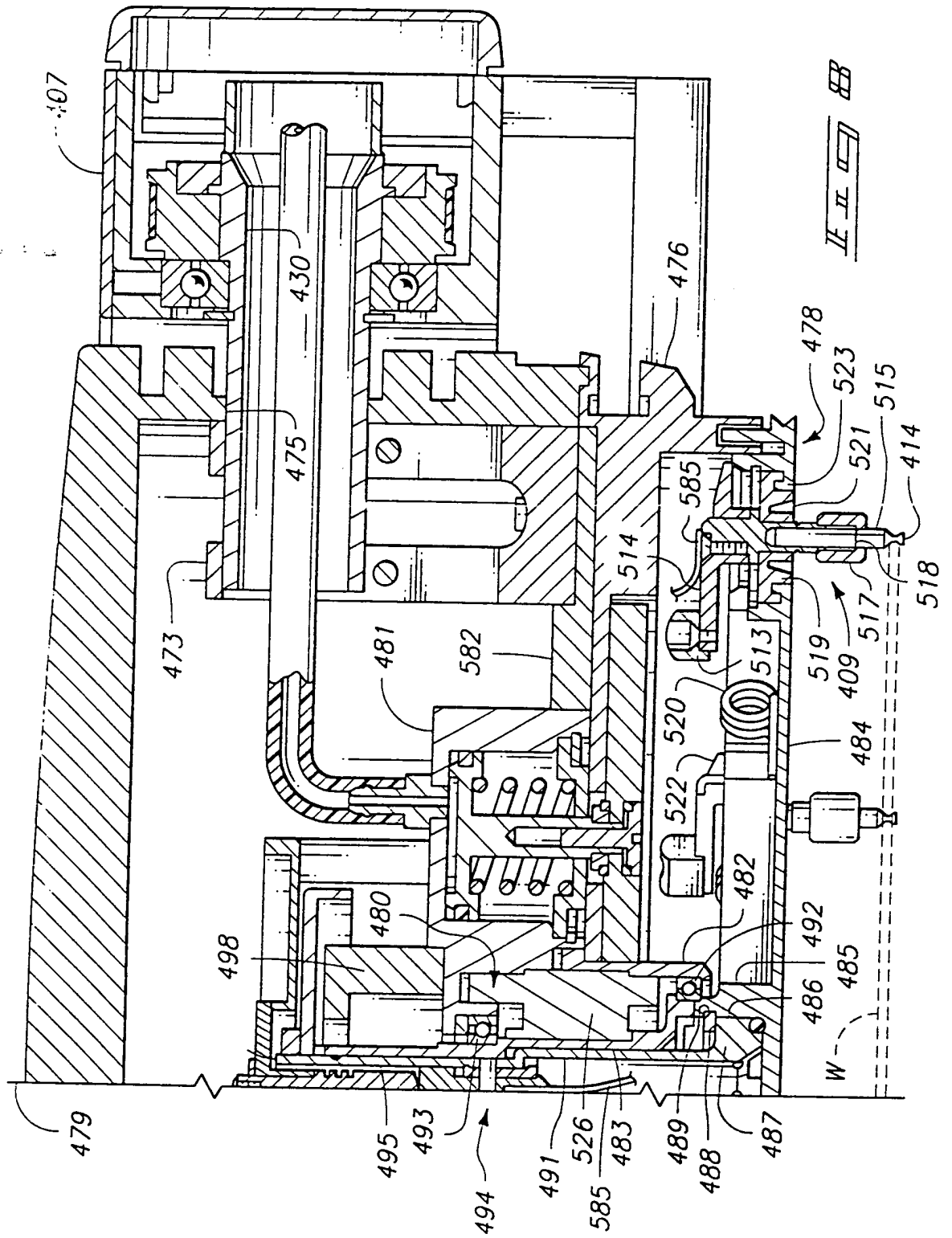
IL 11 11

IL 11 11

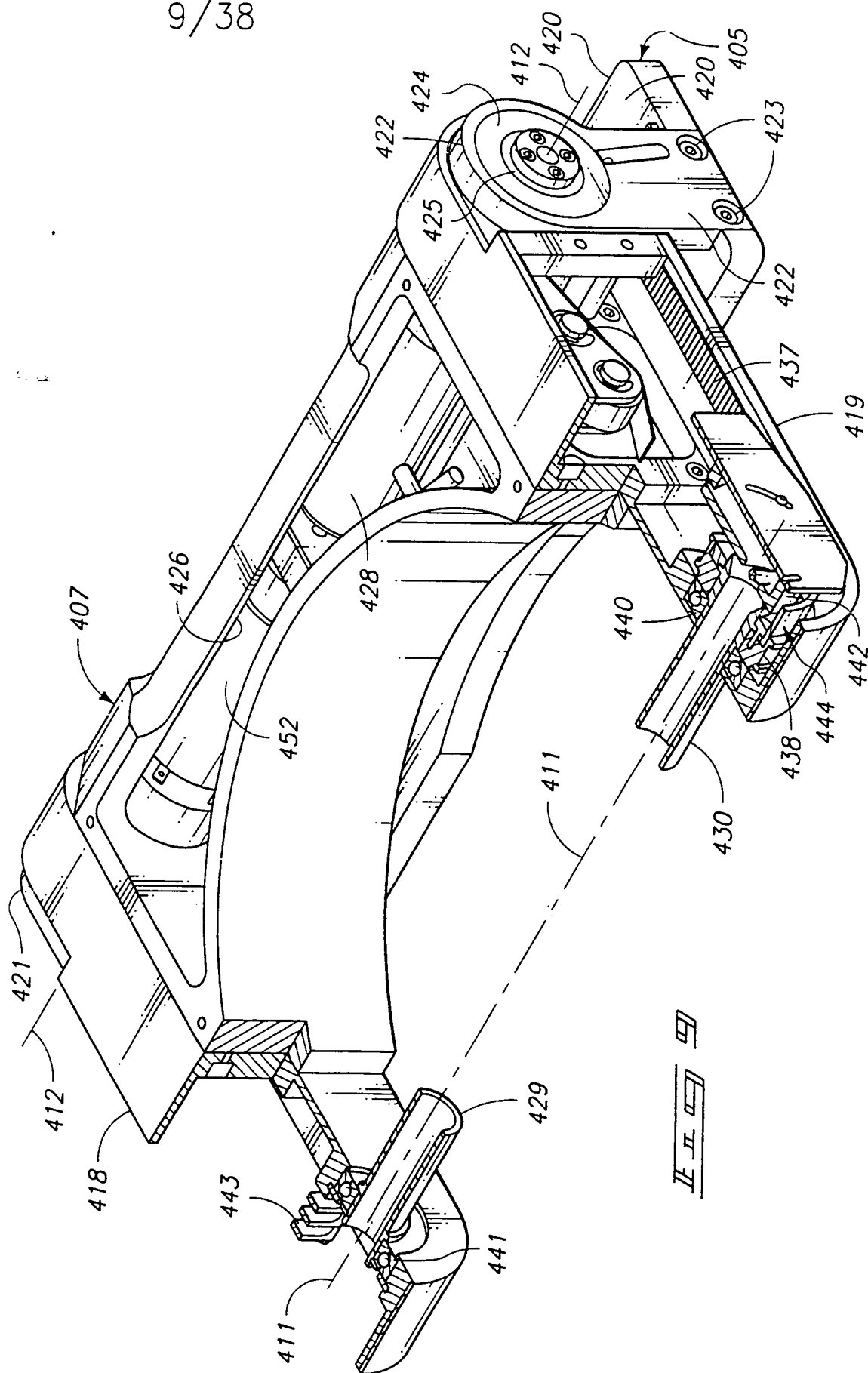
IL 11 11



W







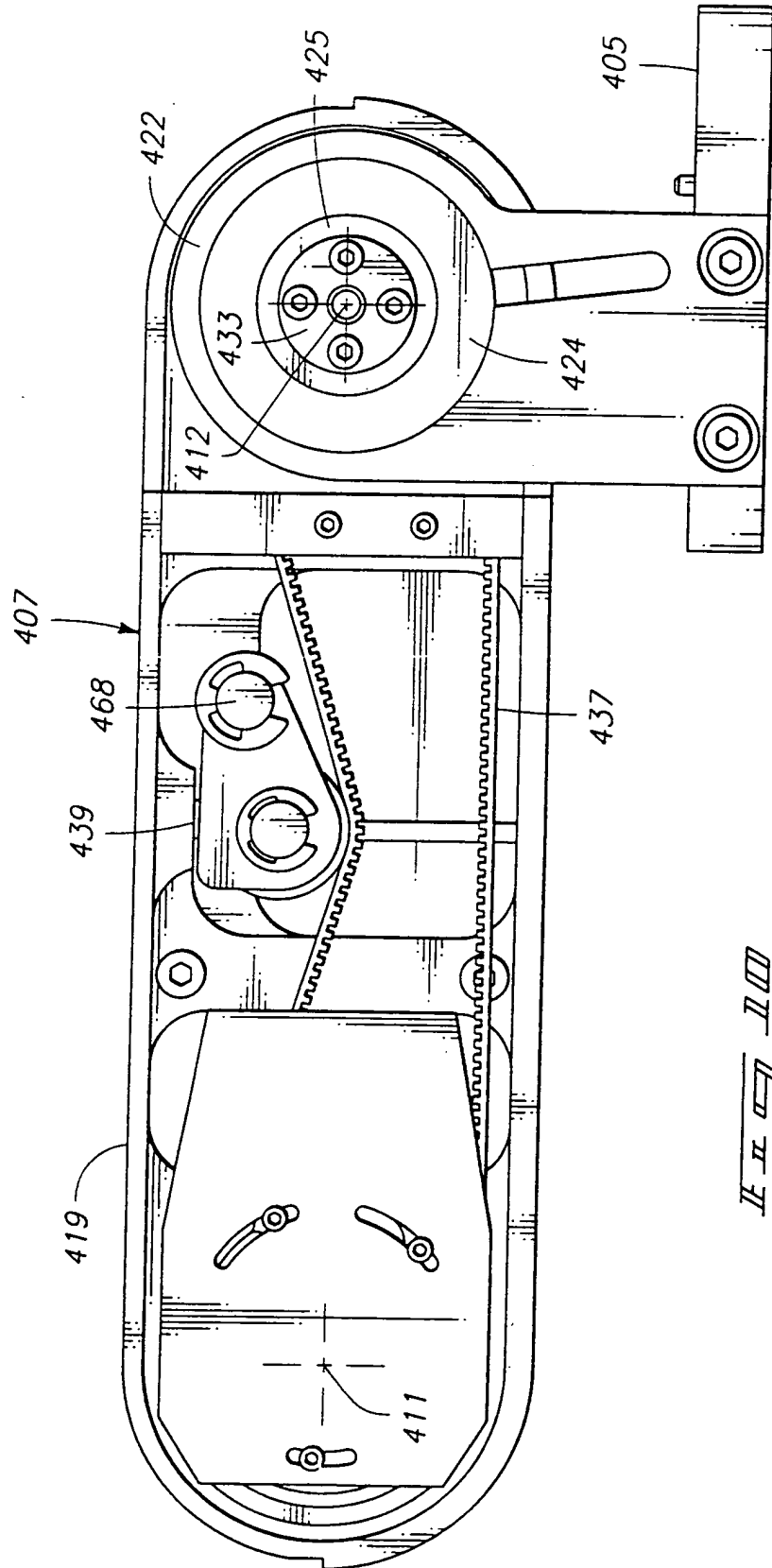
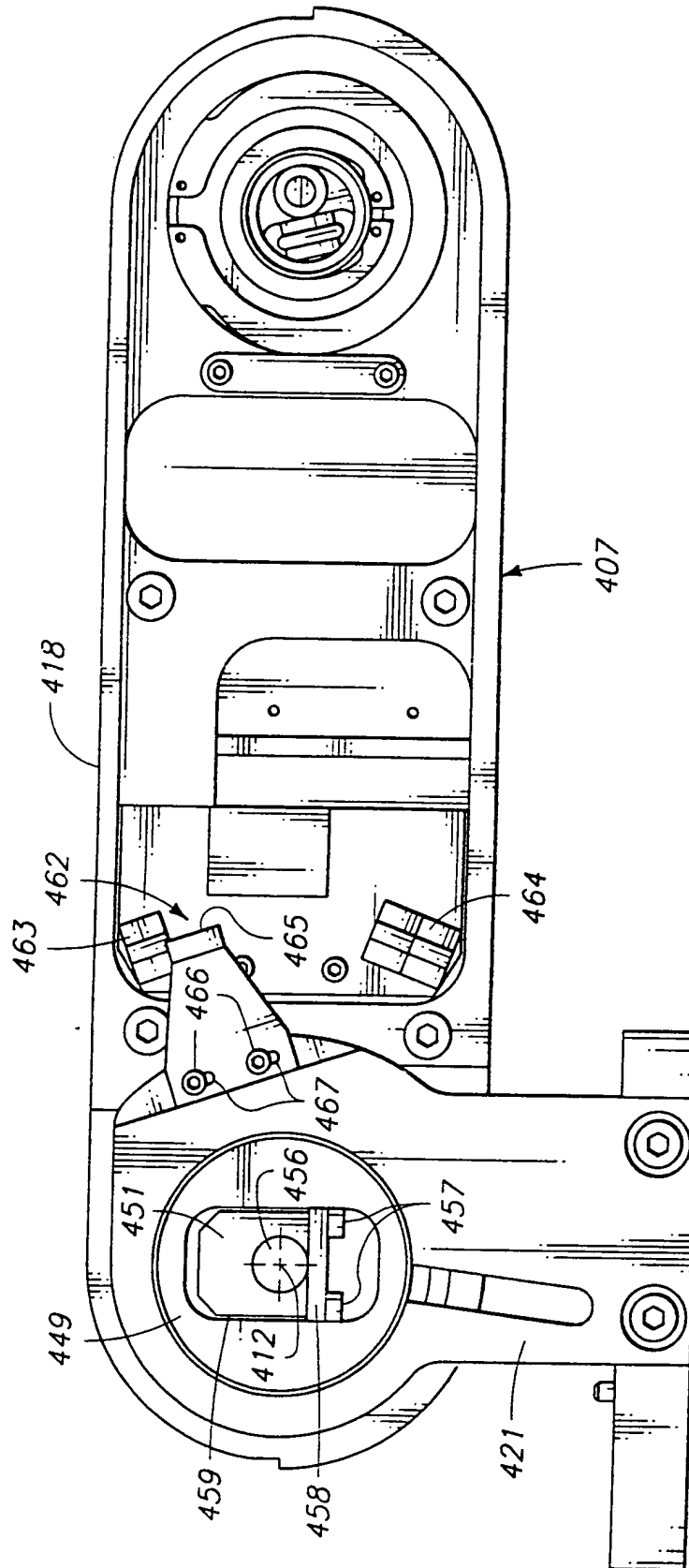
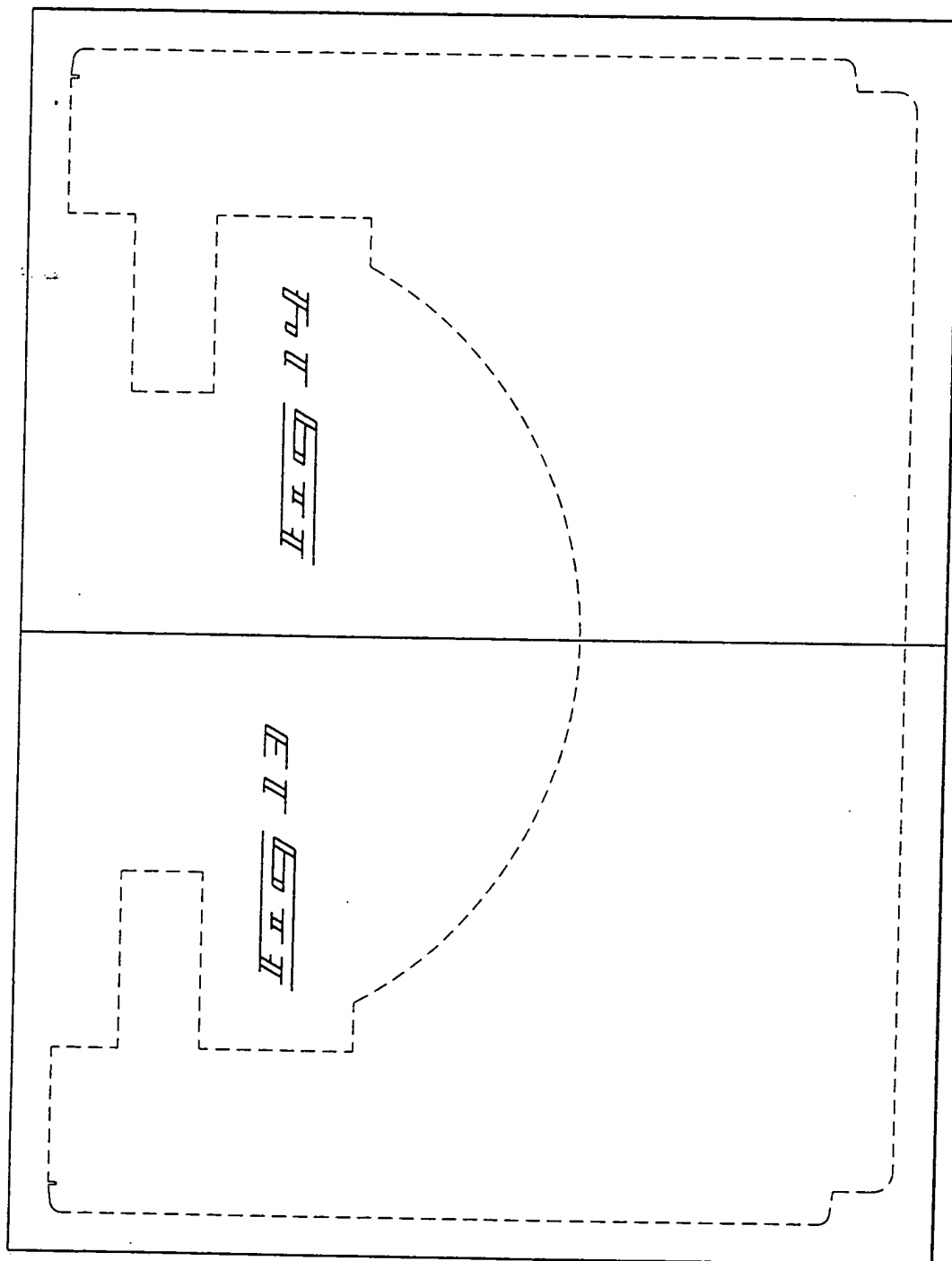


FIG. 10



II II II II

12/38

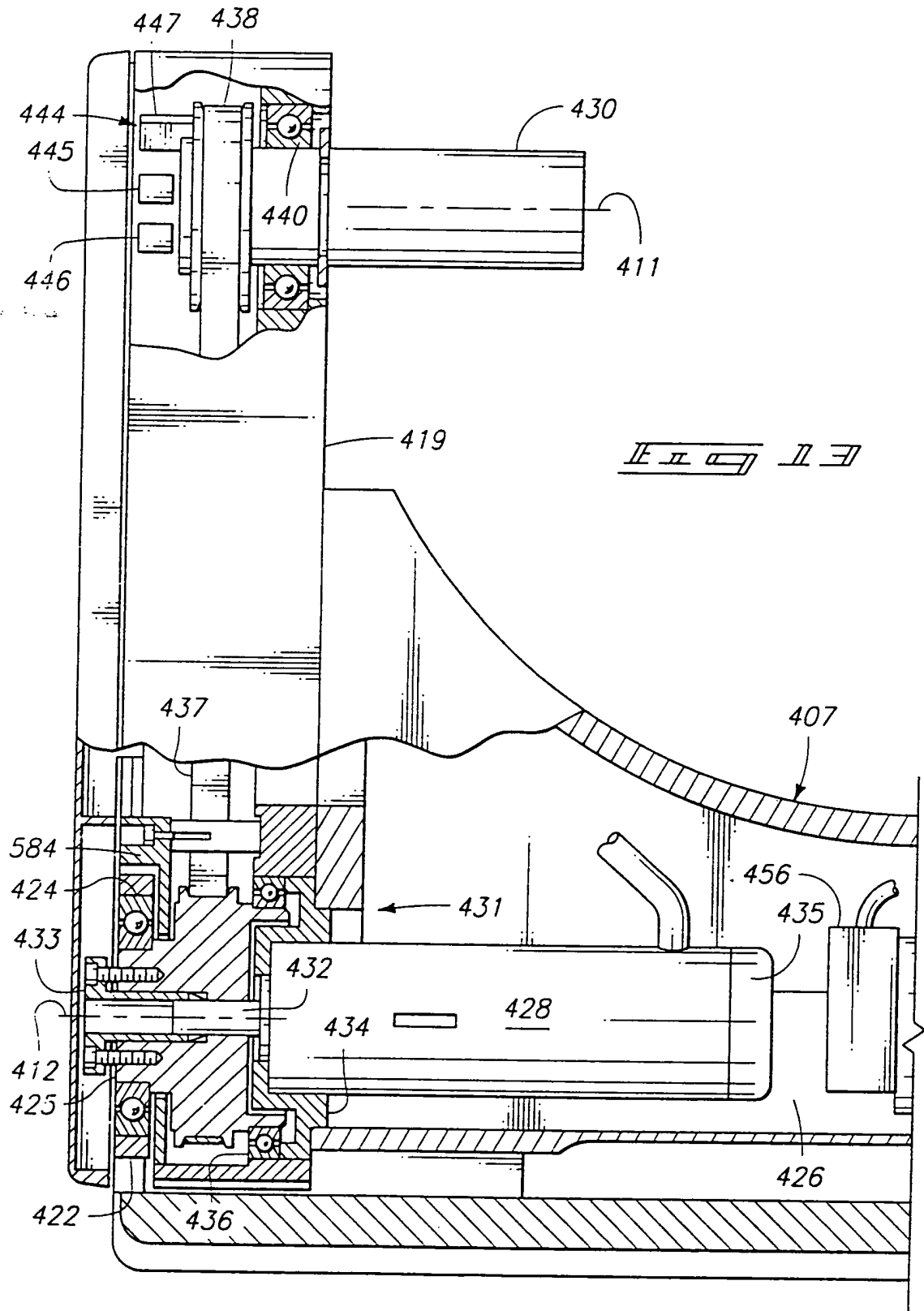


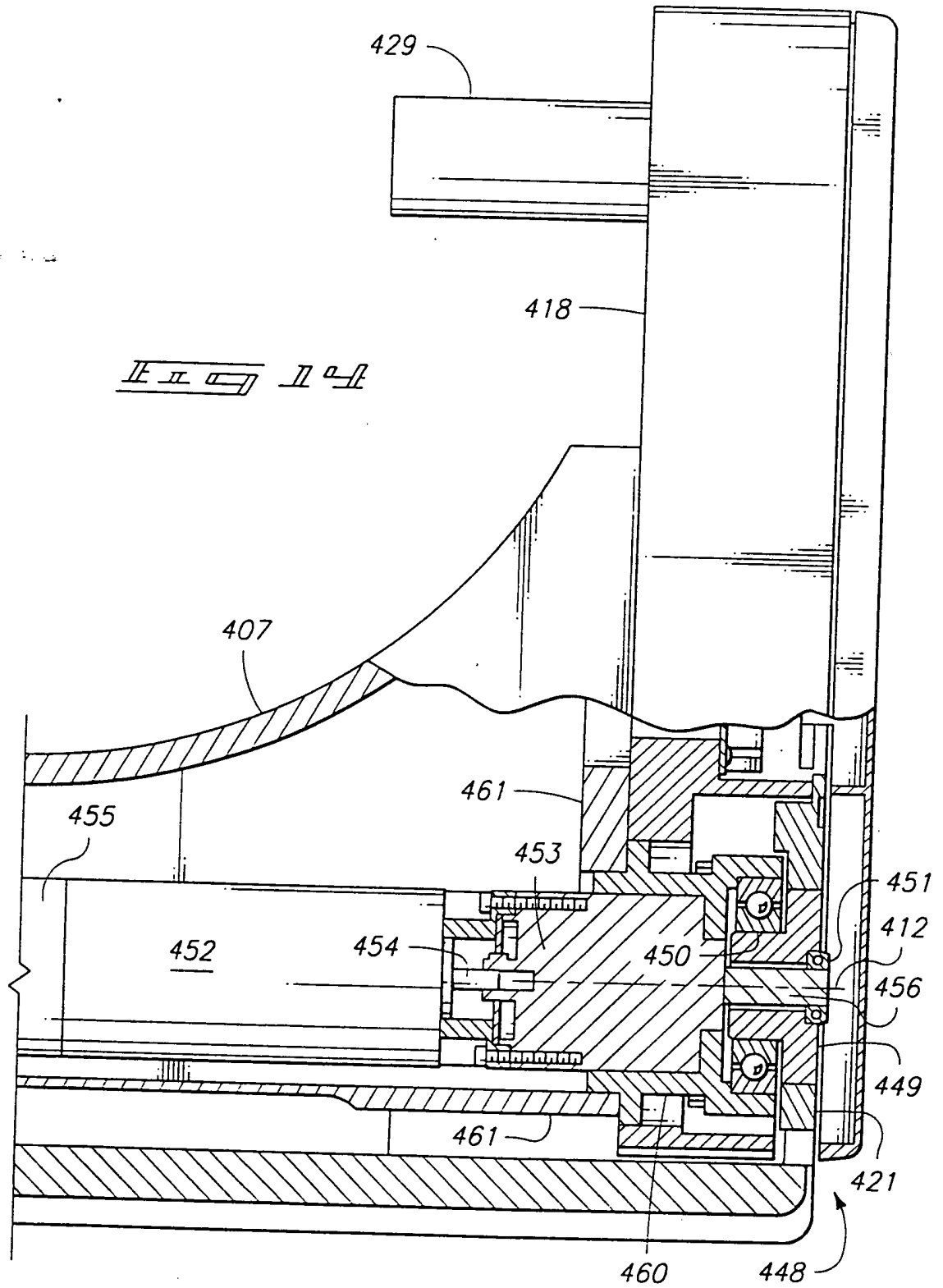
12/38

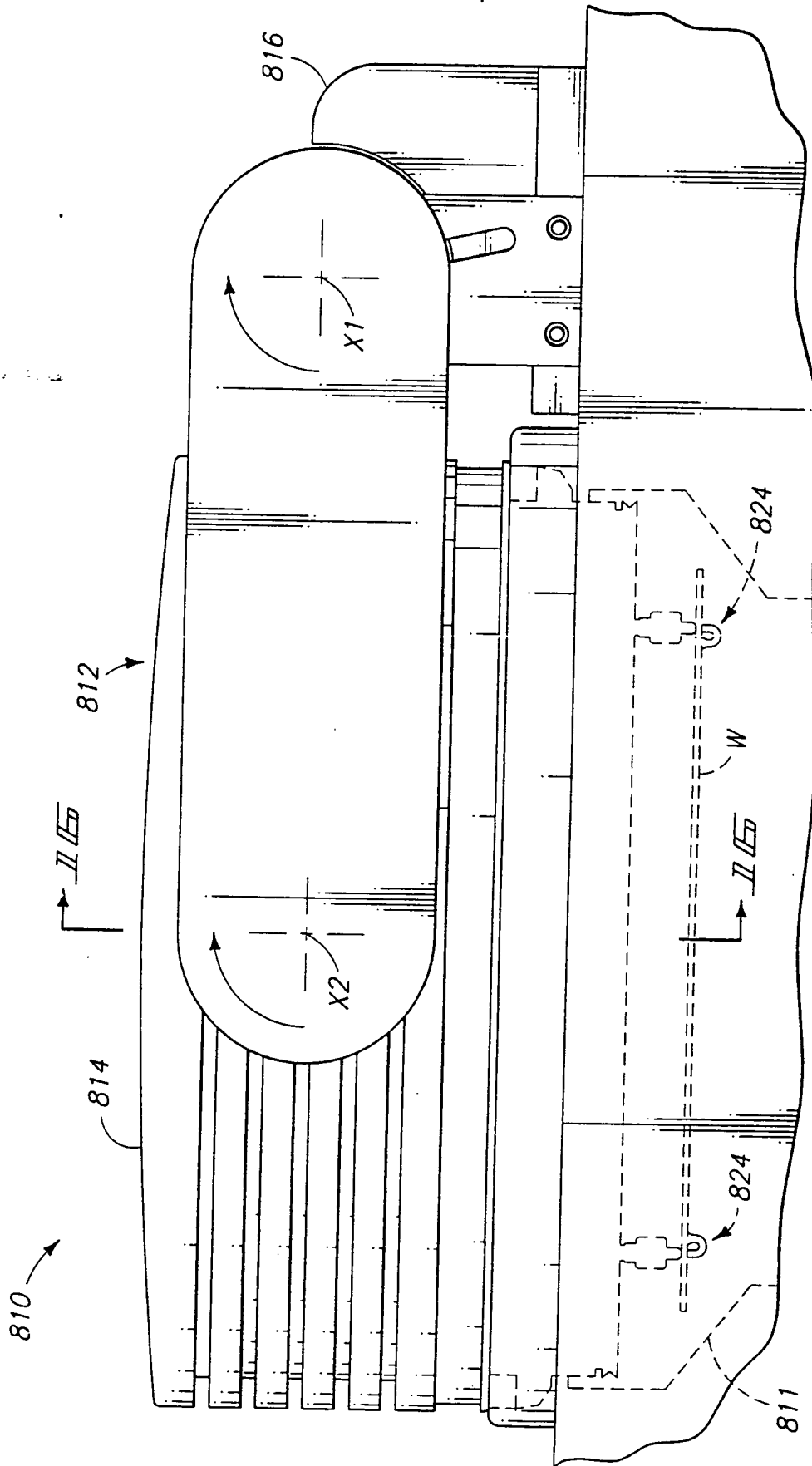
12/38

12/38

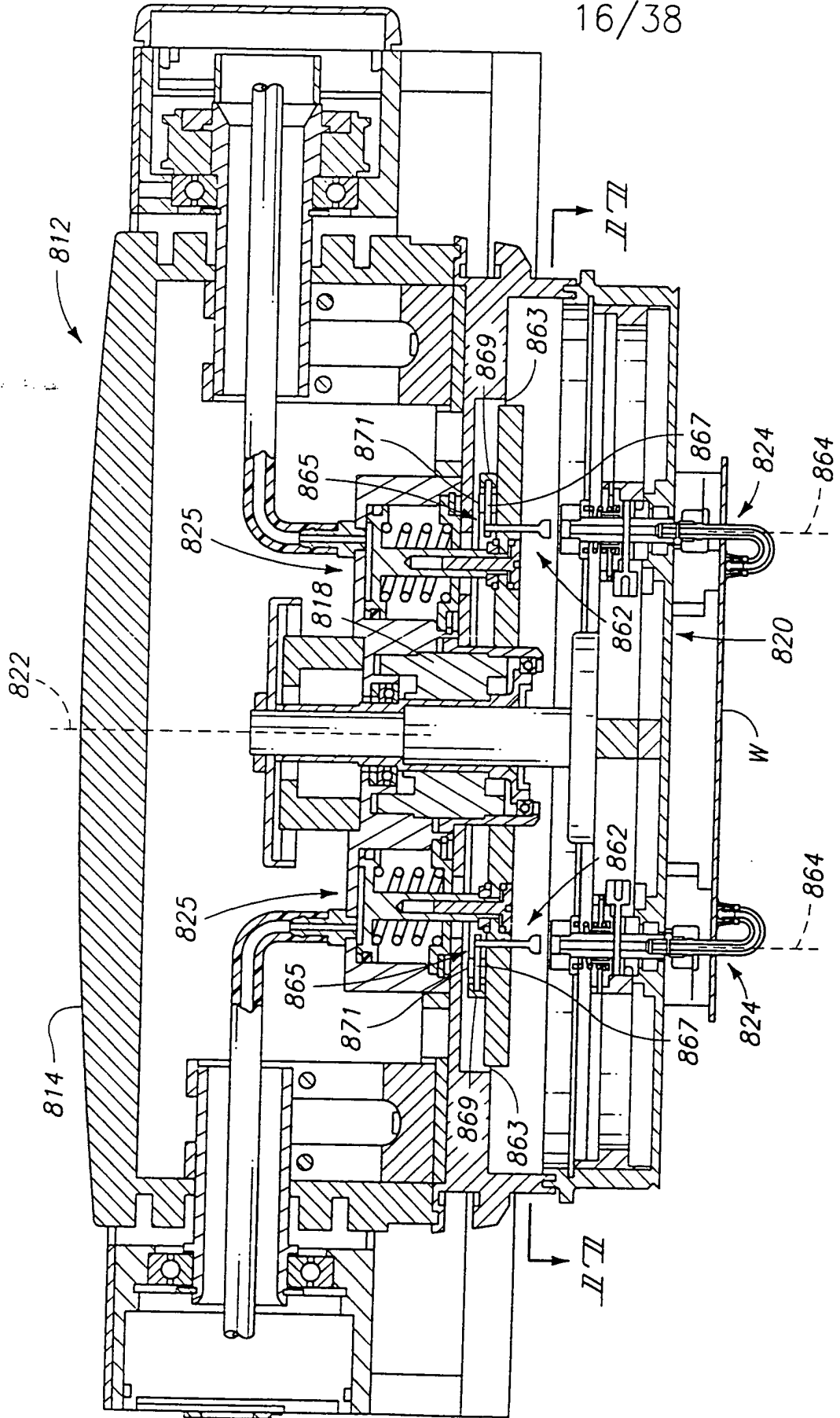
13/38





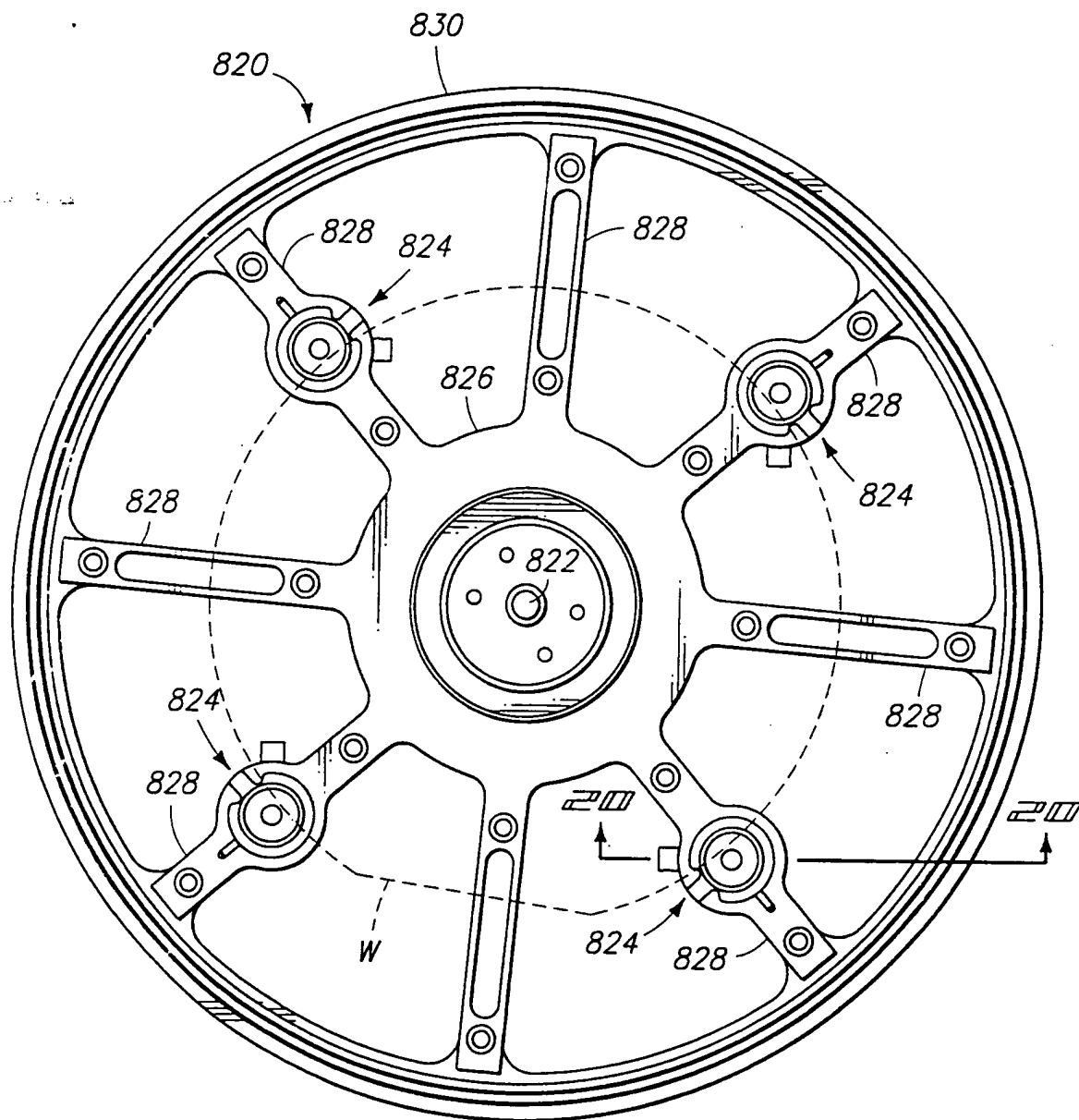


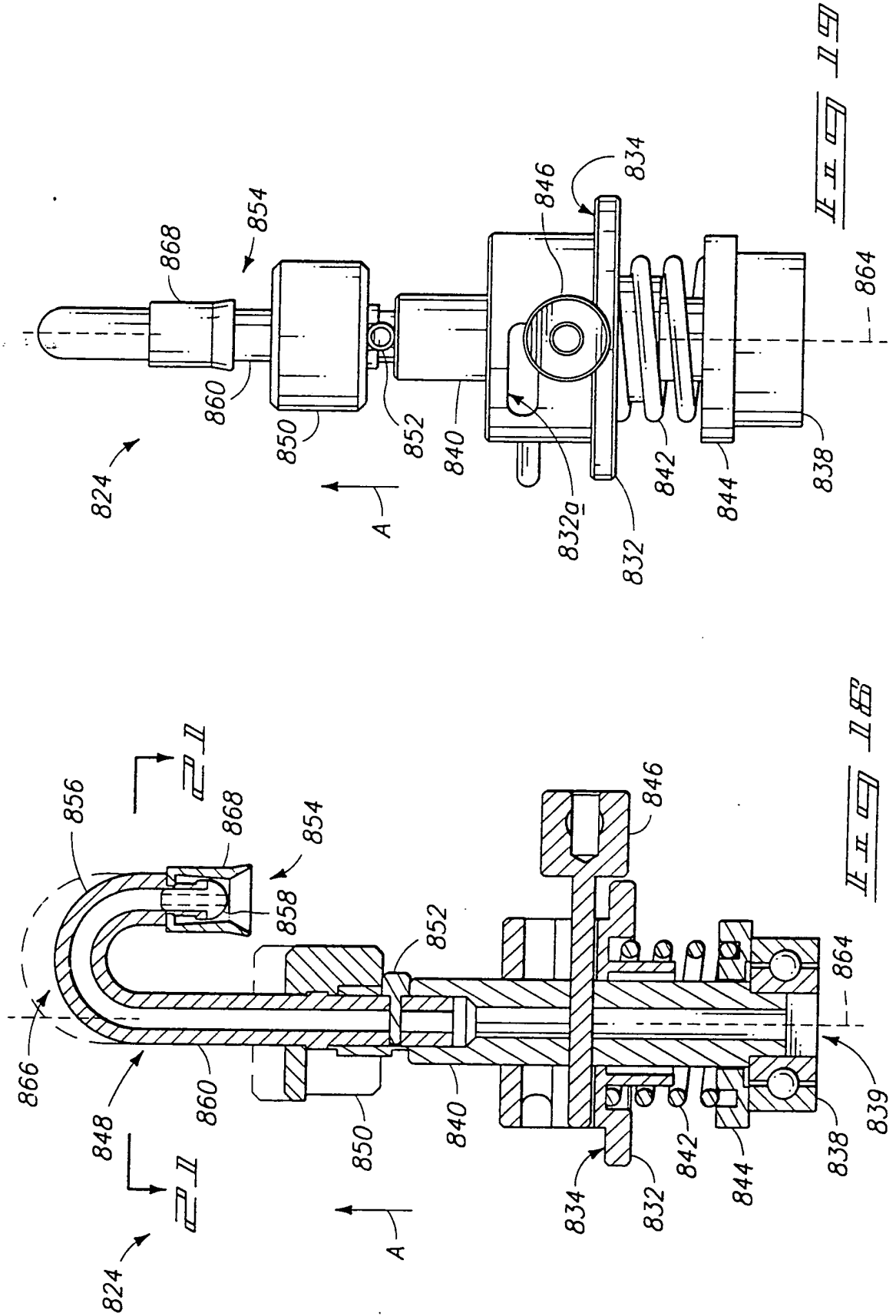
II II II II II

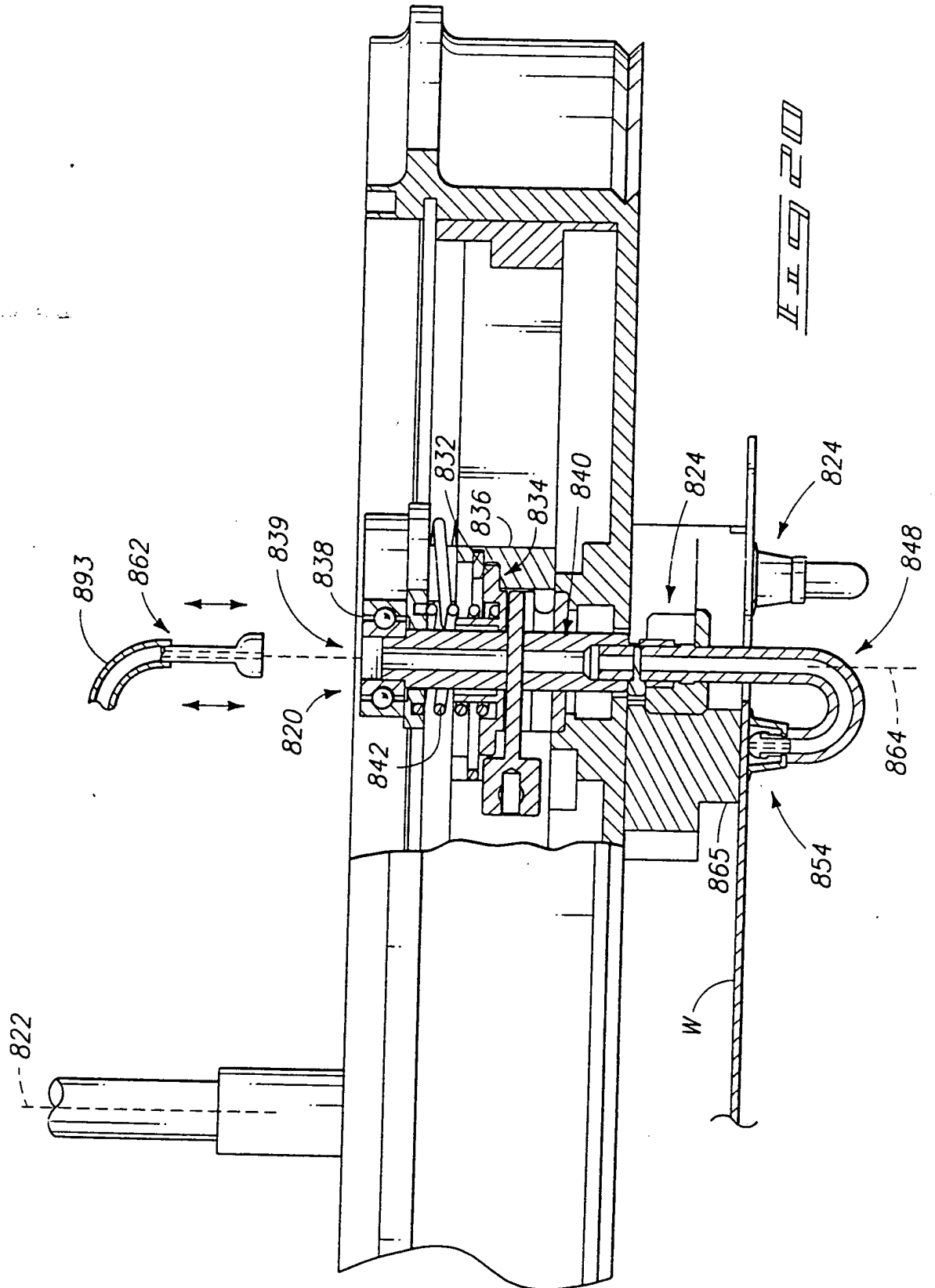


II II









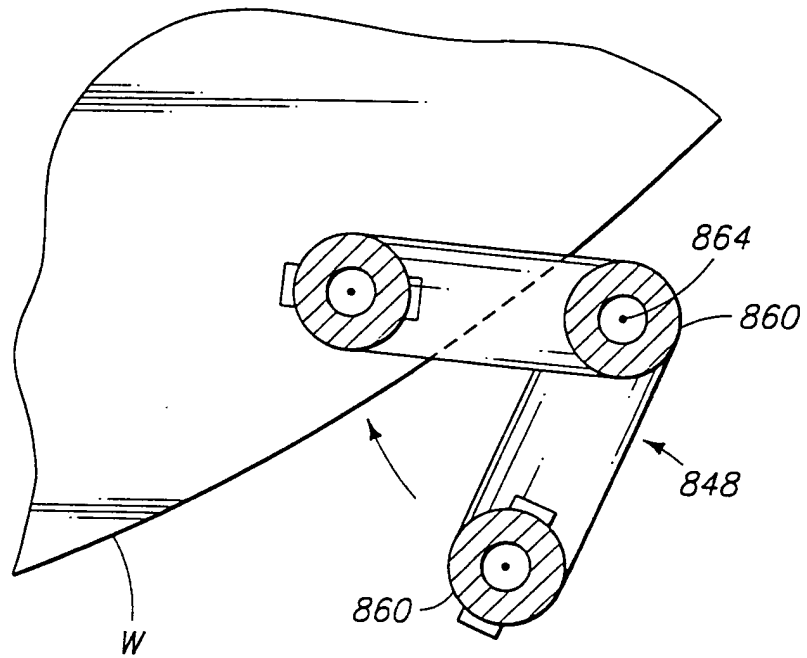


Fig. 21

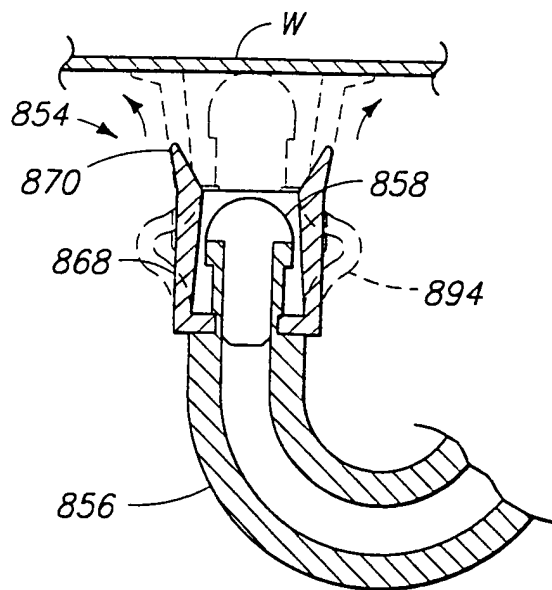
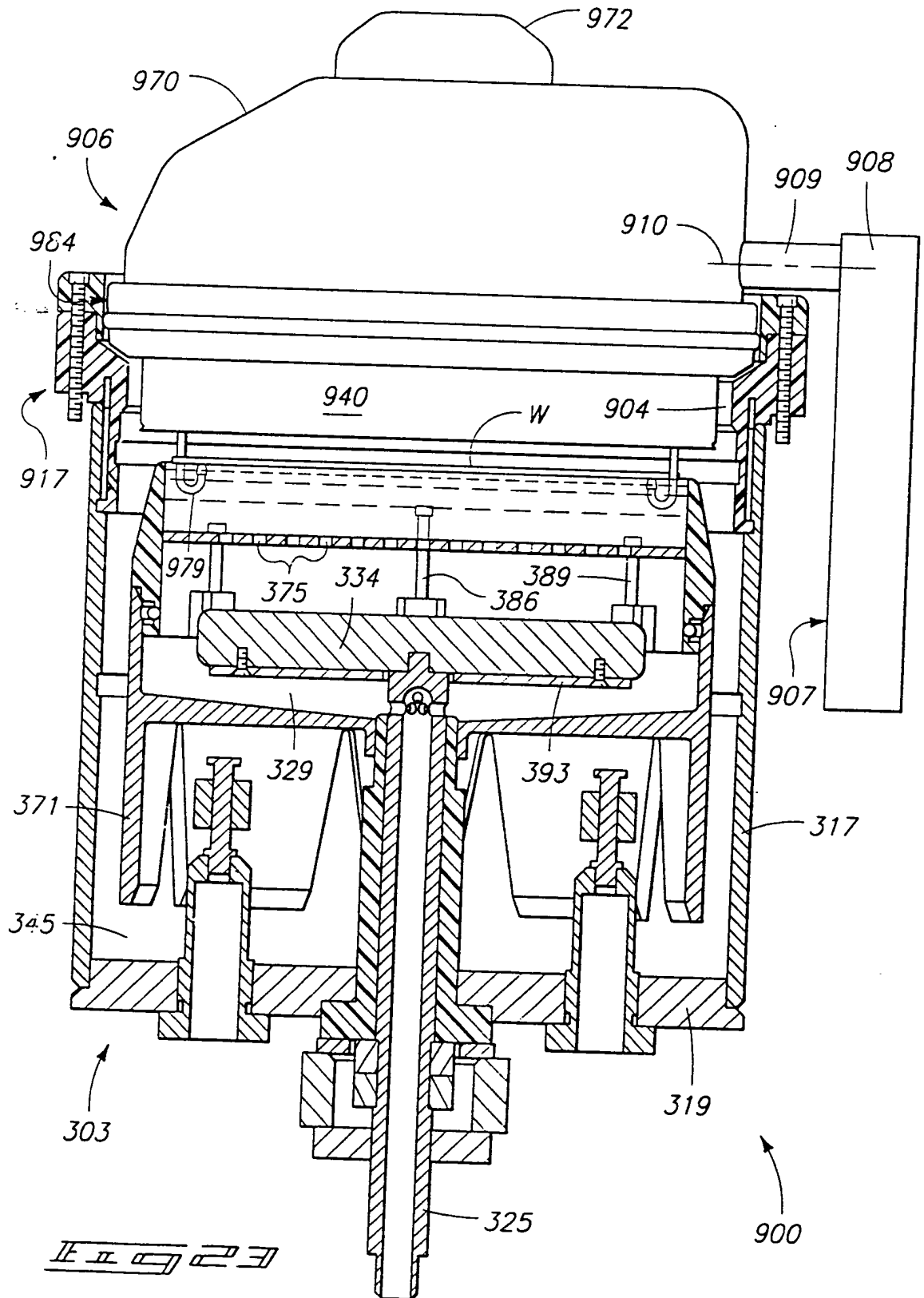
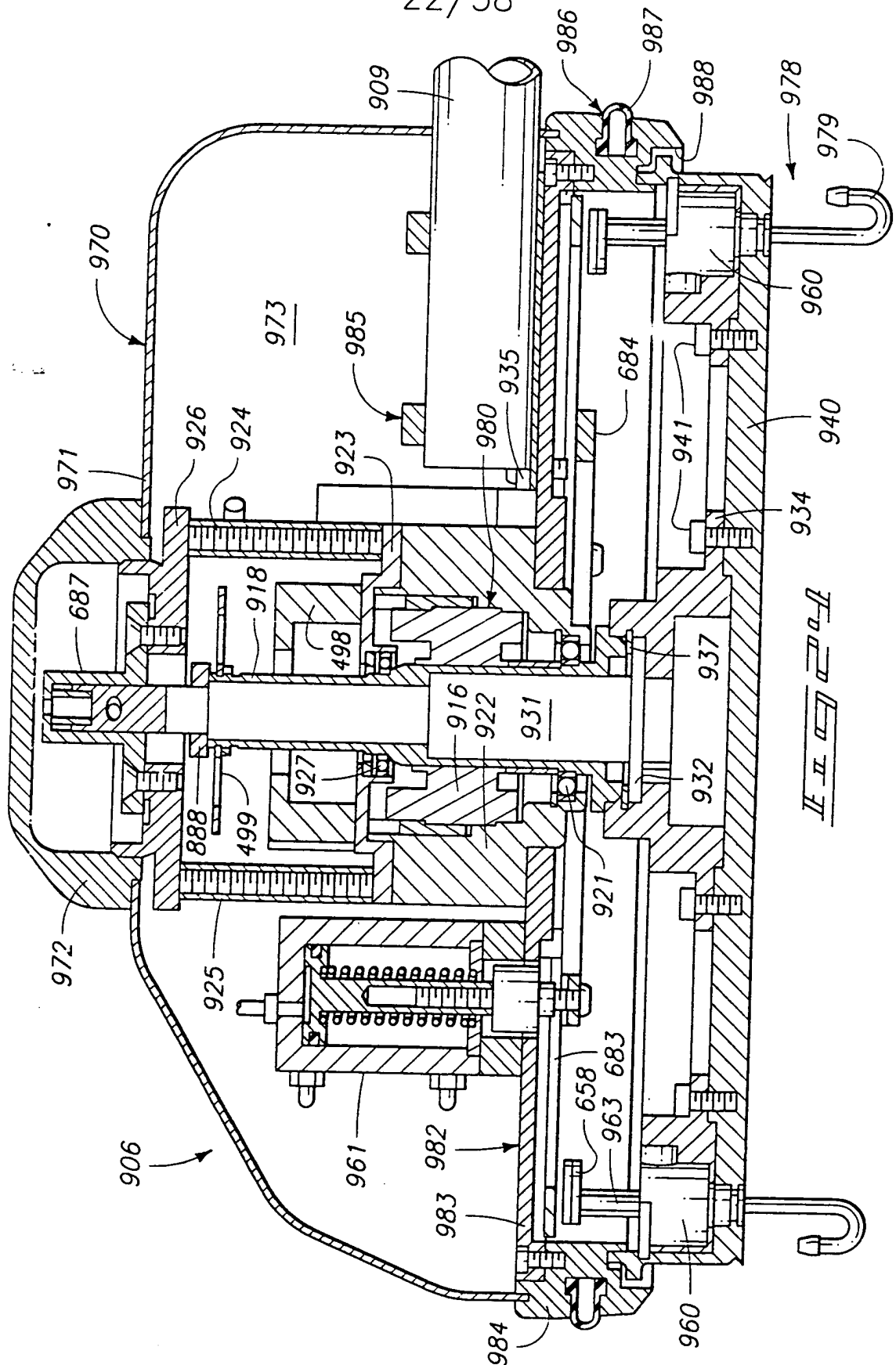
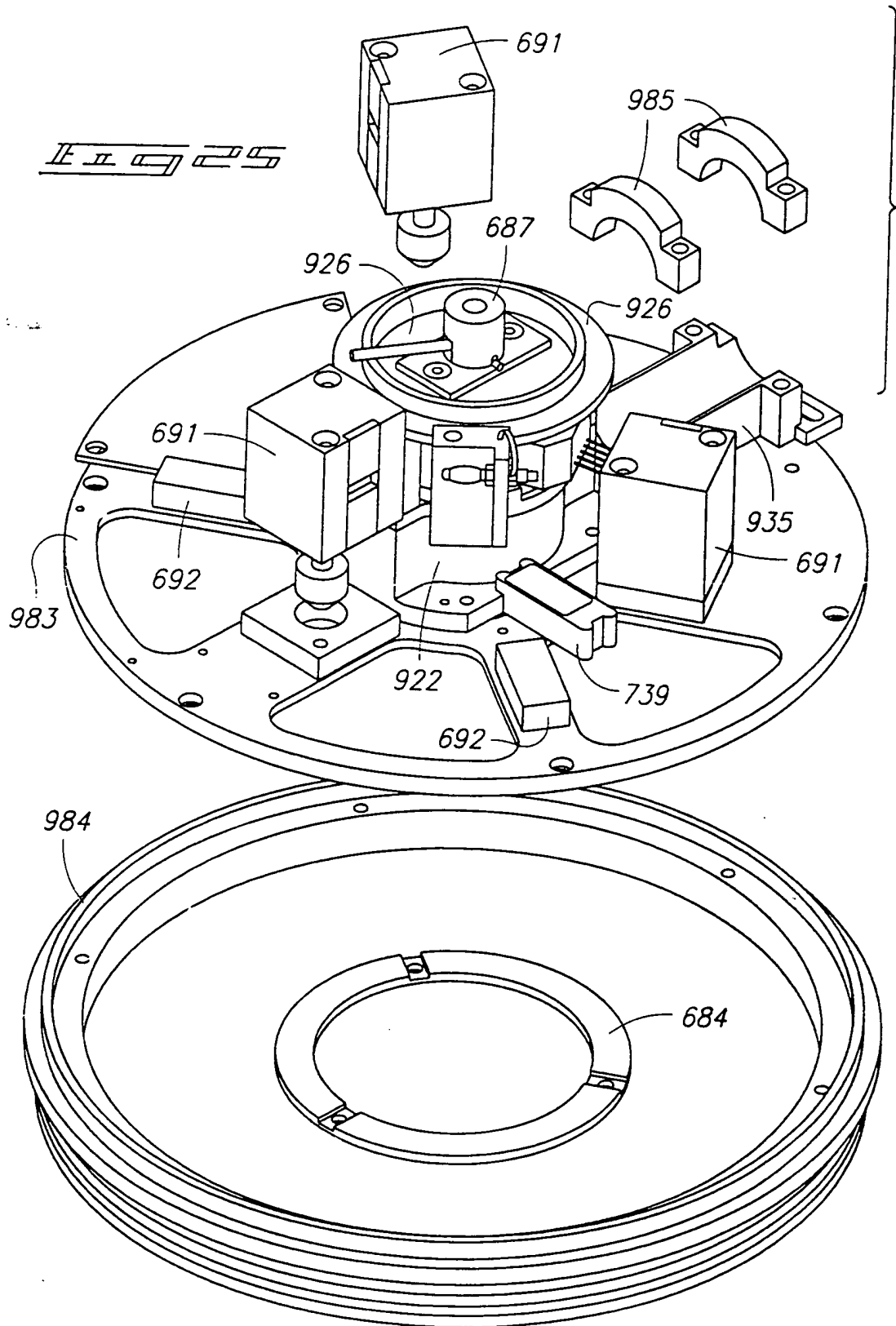


Fig. 22

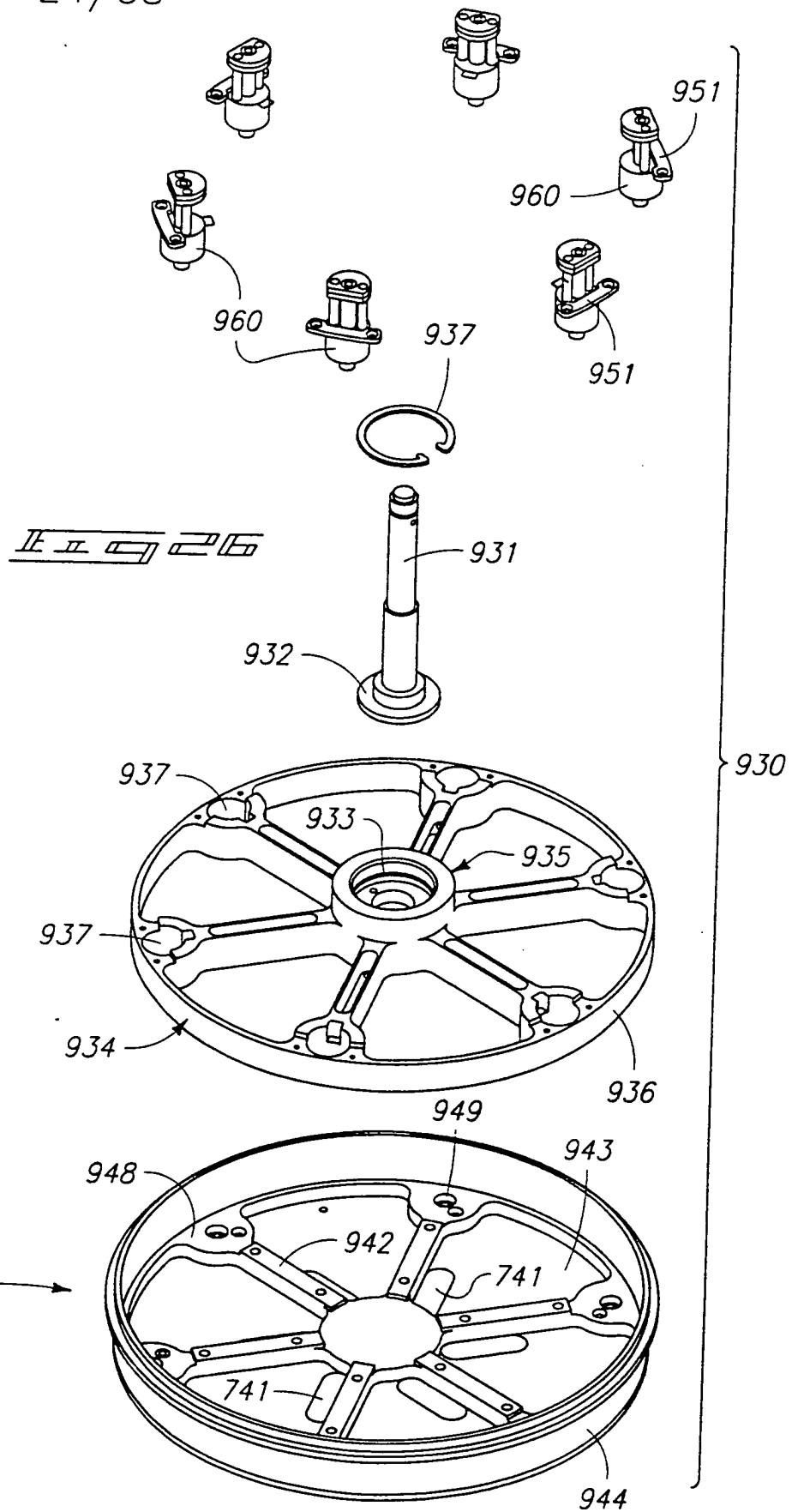
21/38



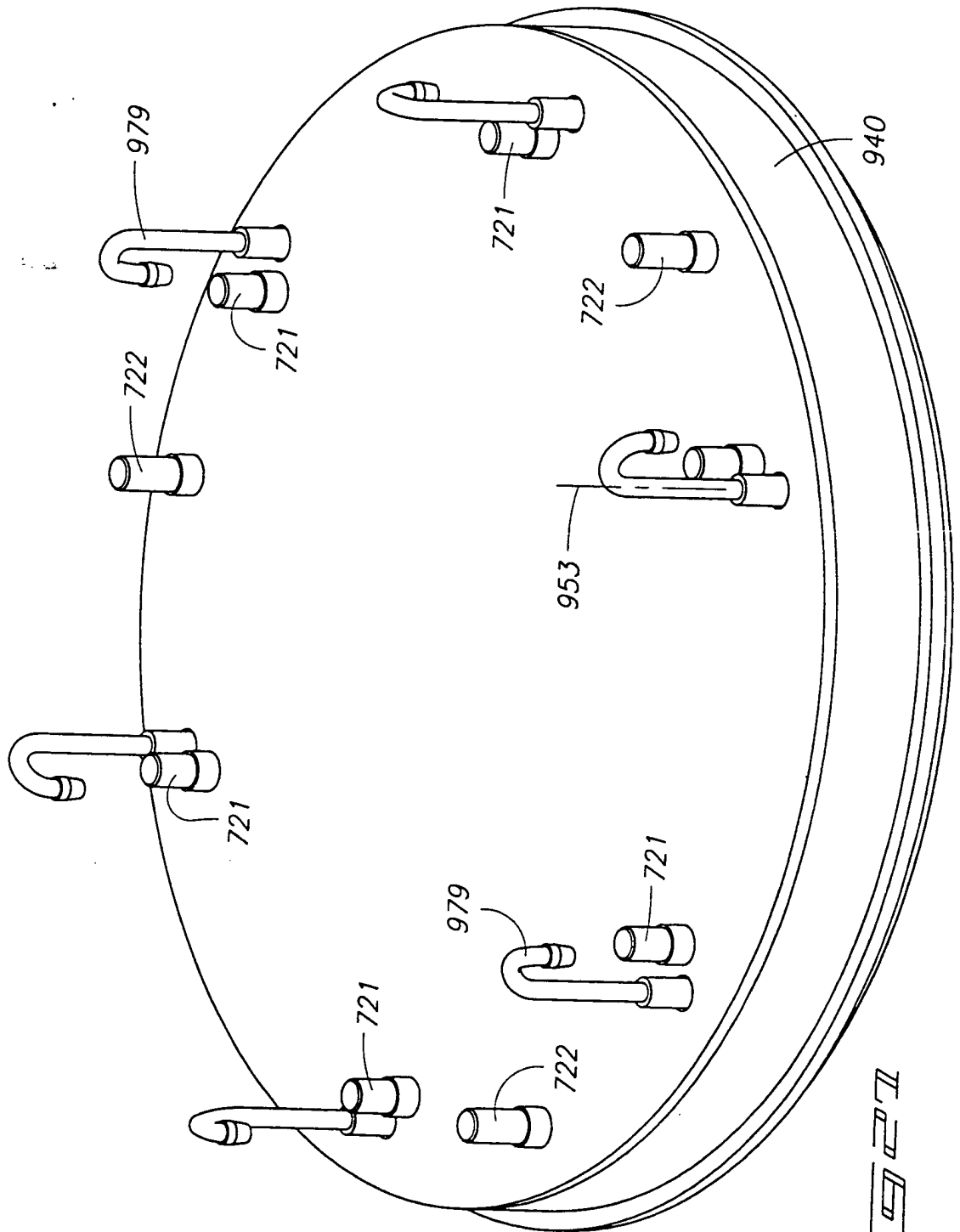




24/38







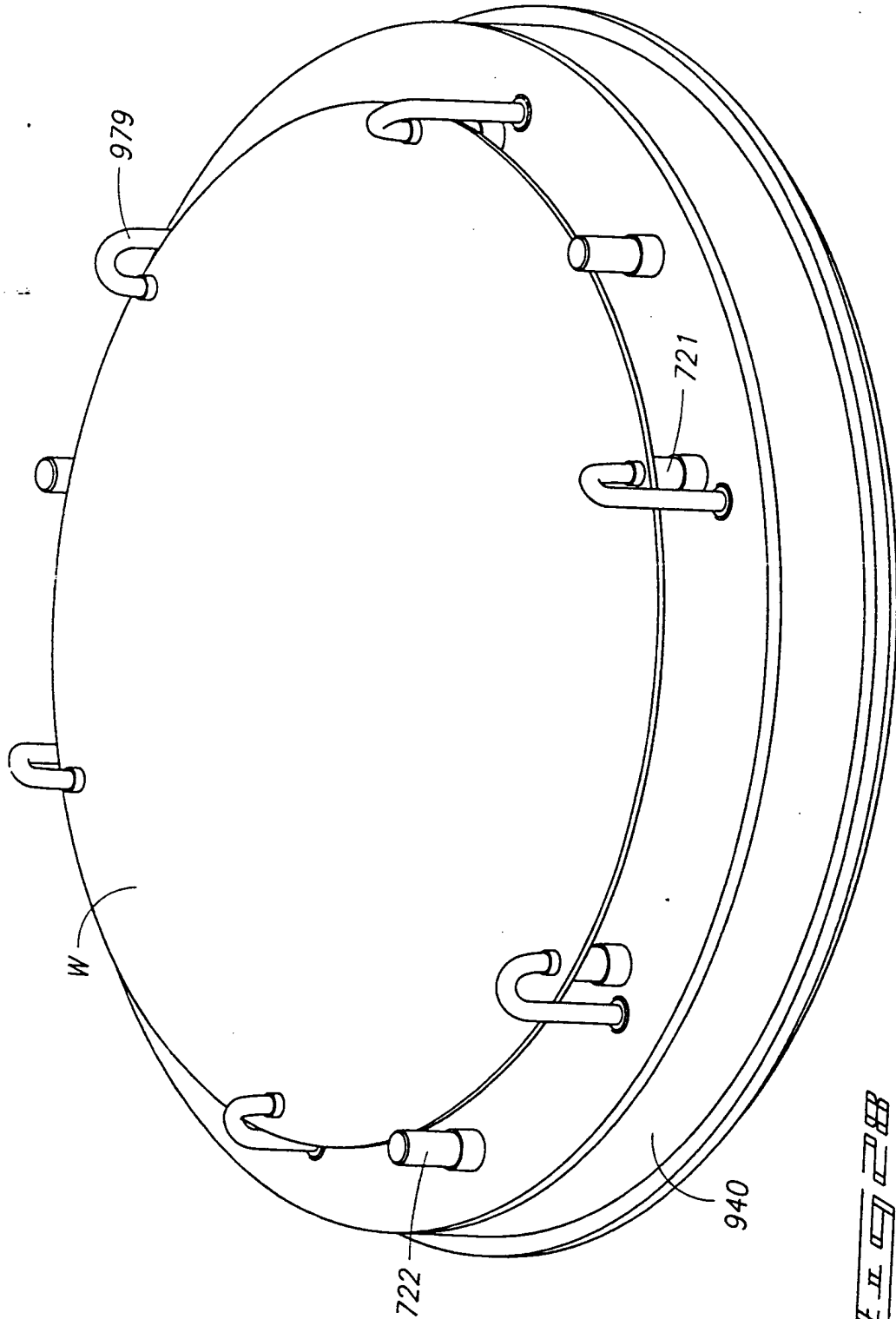


FIG. 26

27/38

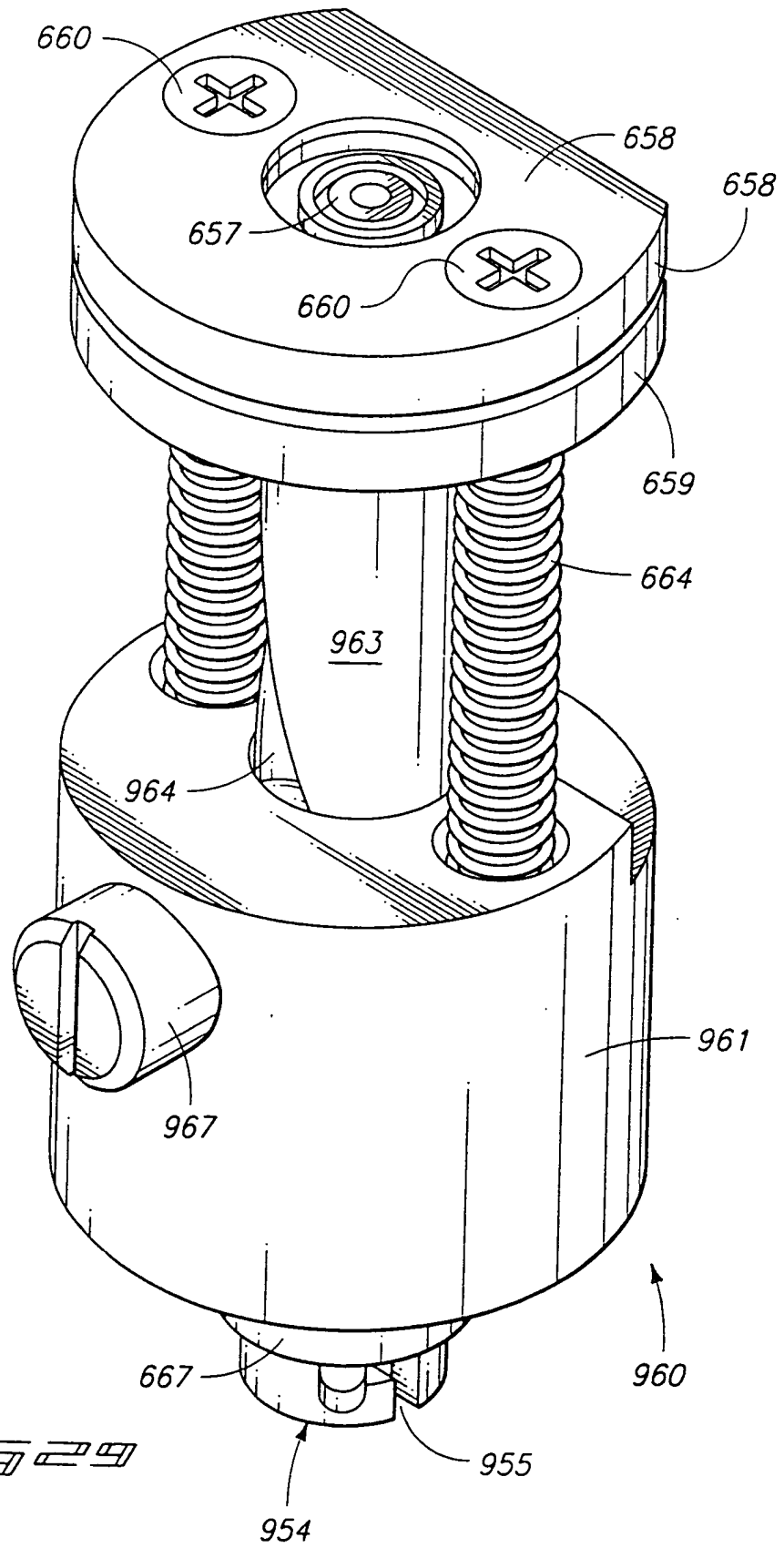
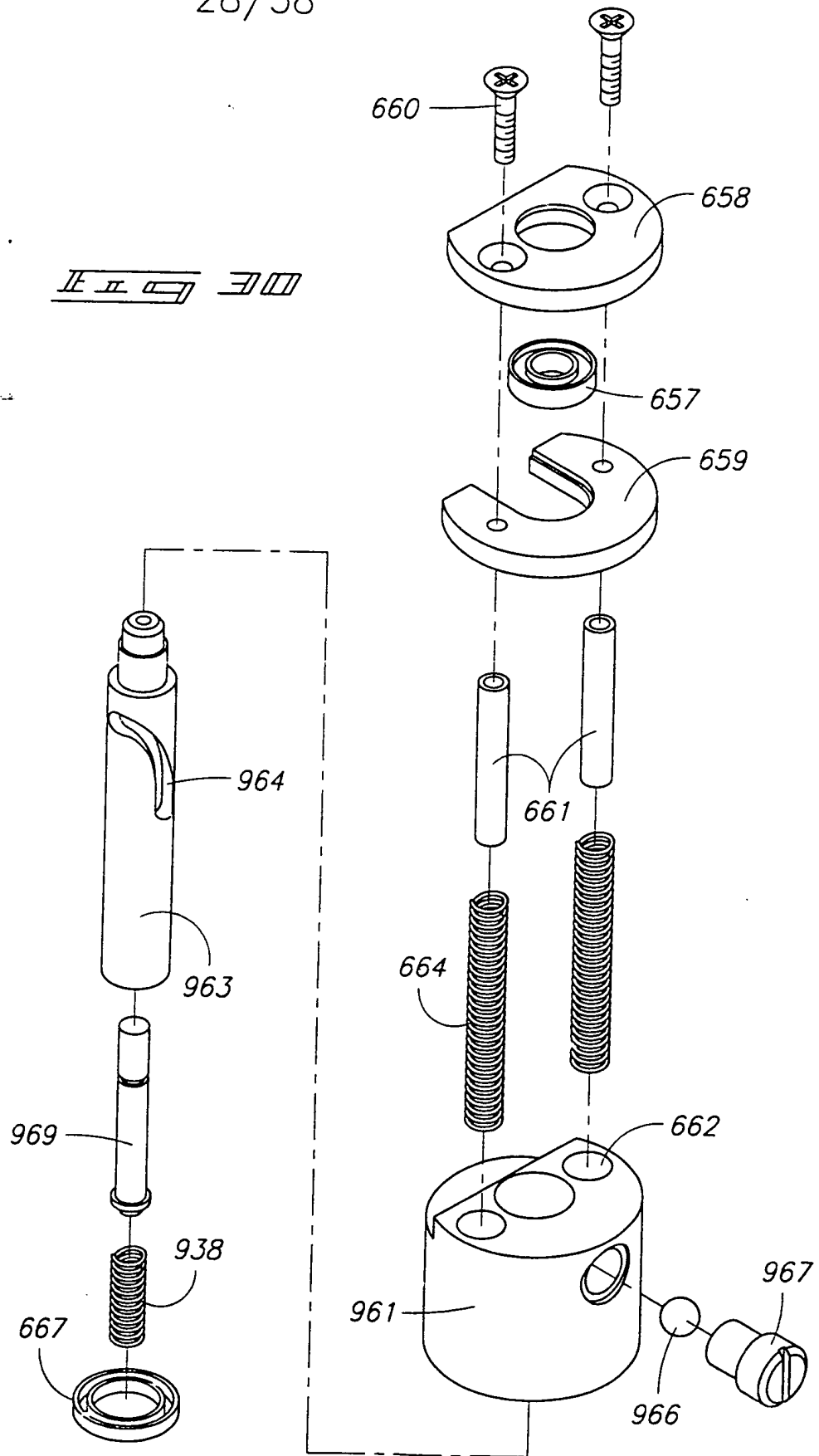
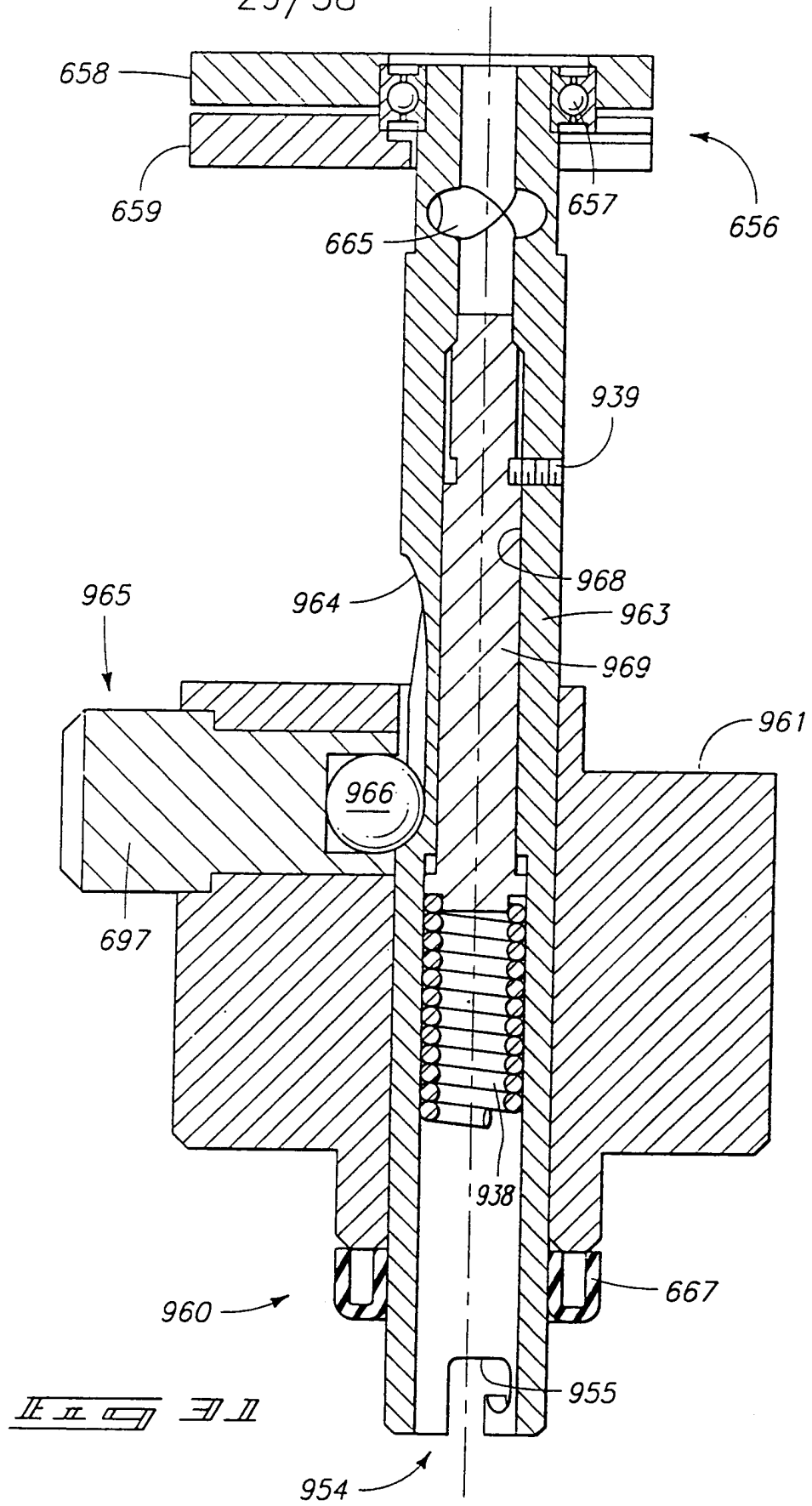


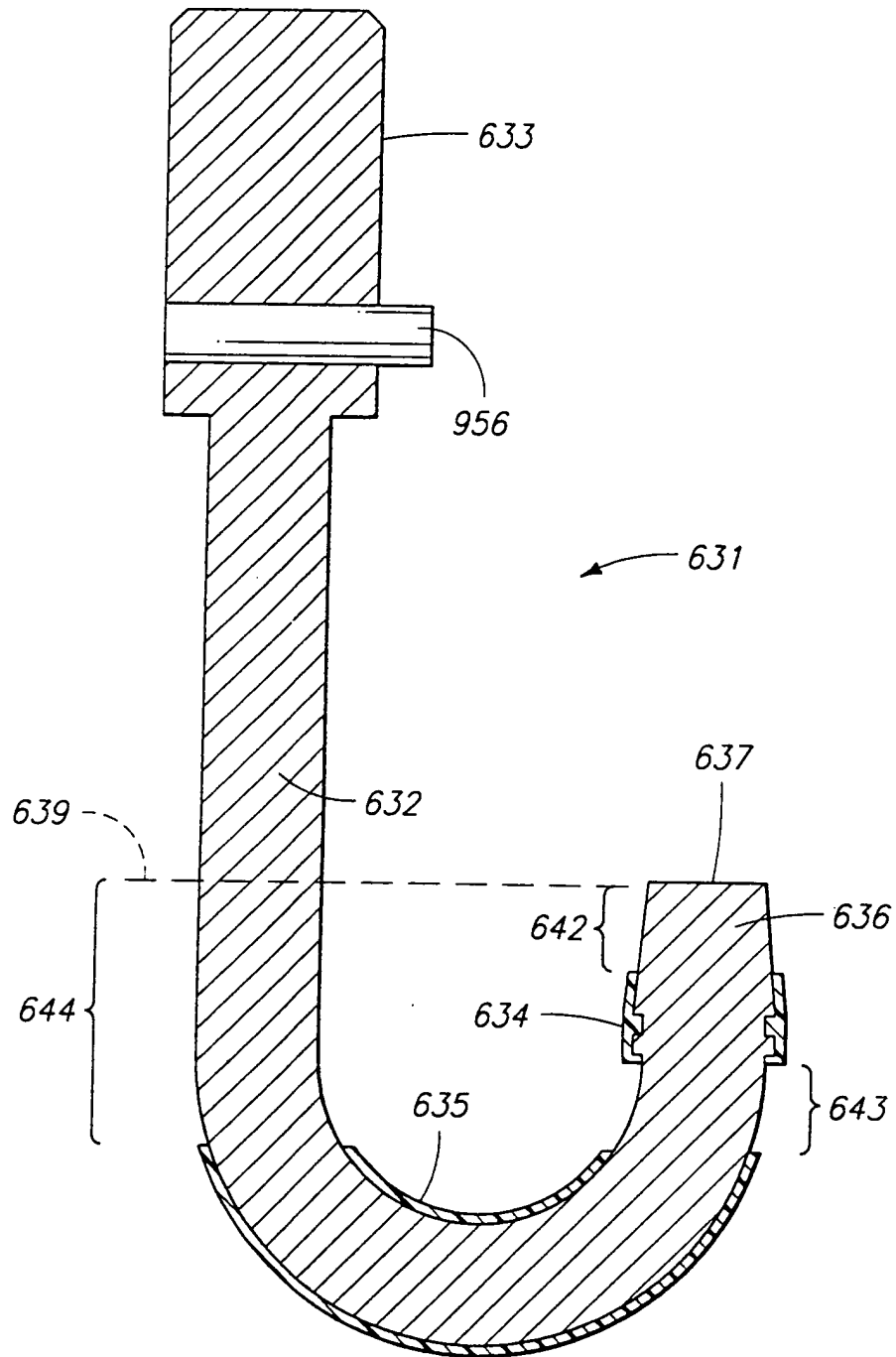
FIG. 29

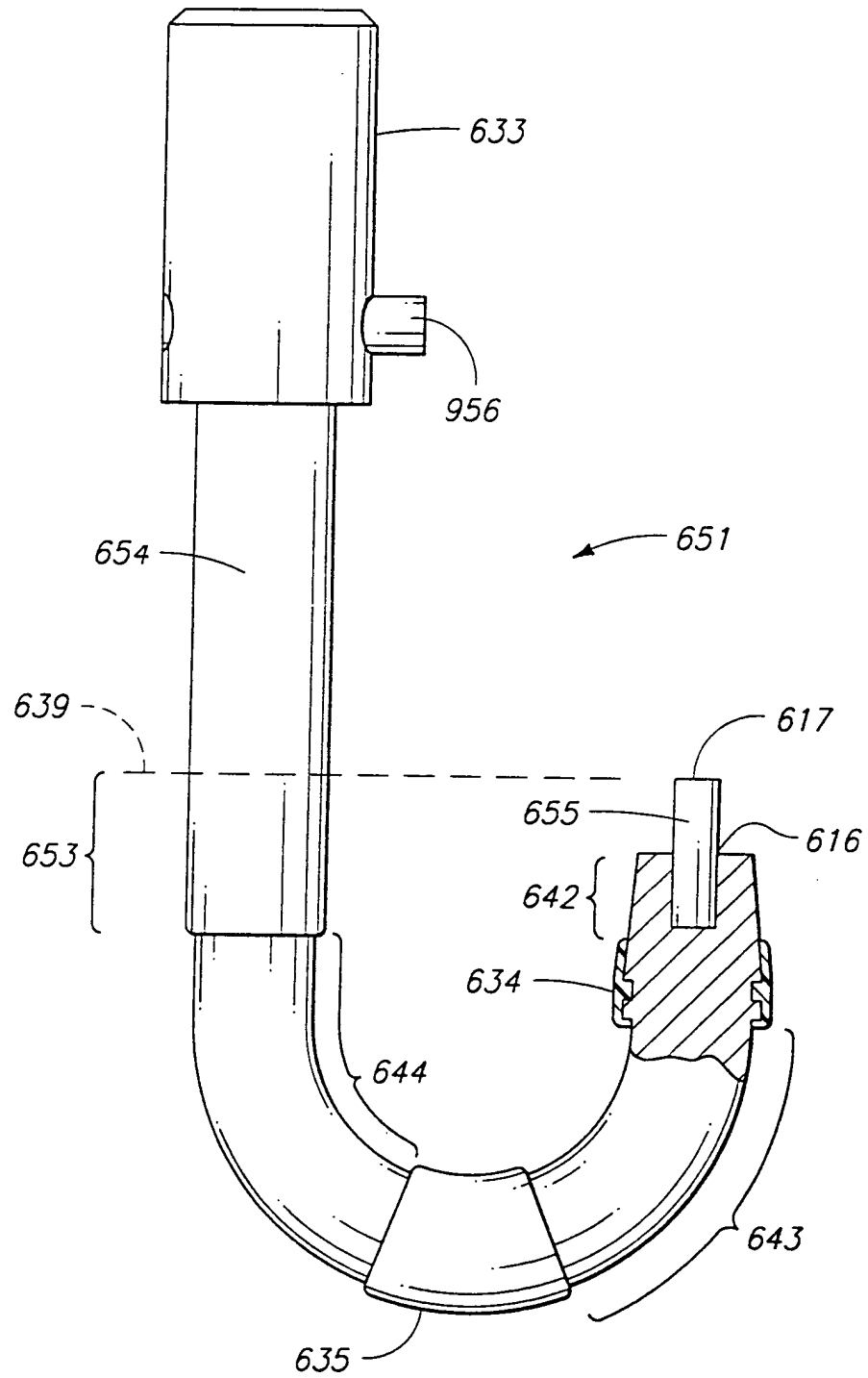
FIG. 30

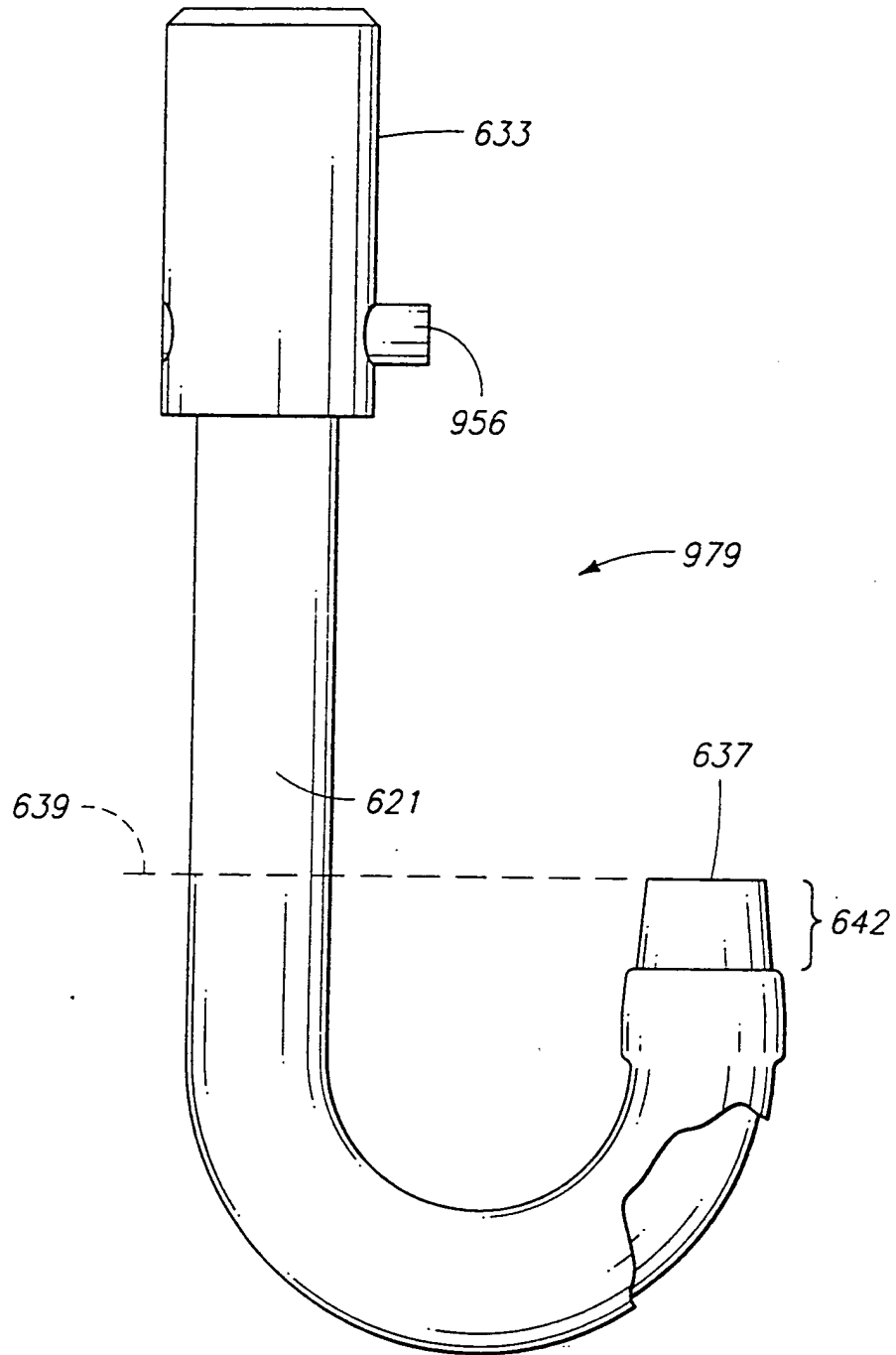


29/38

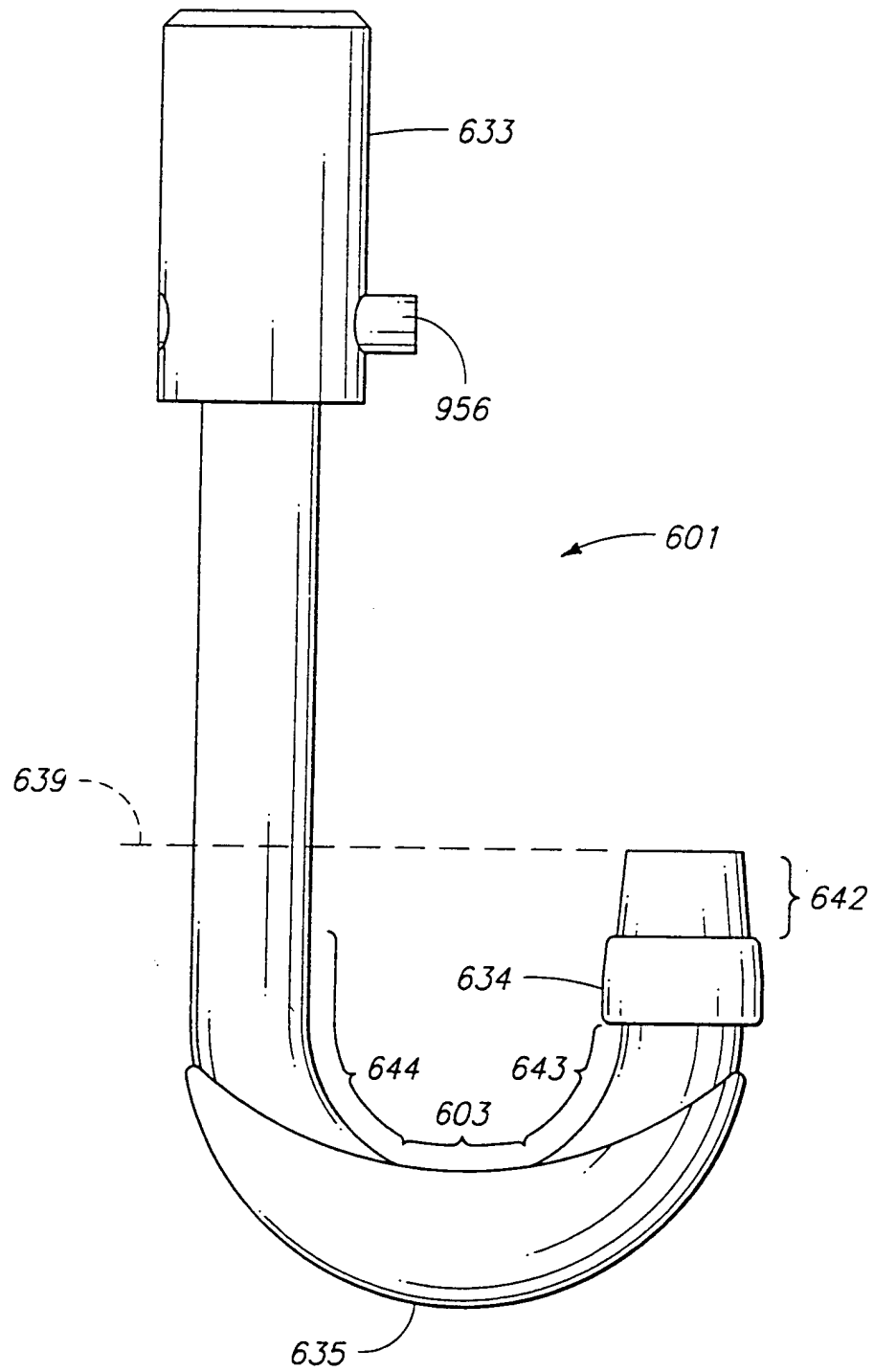












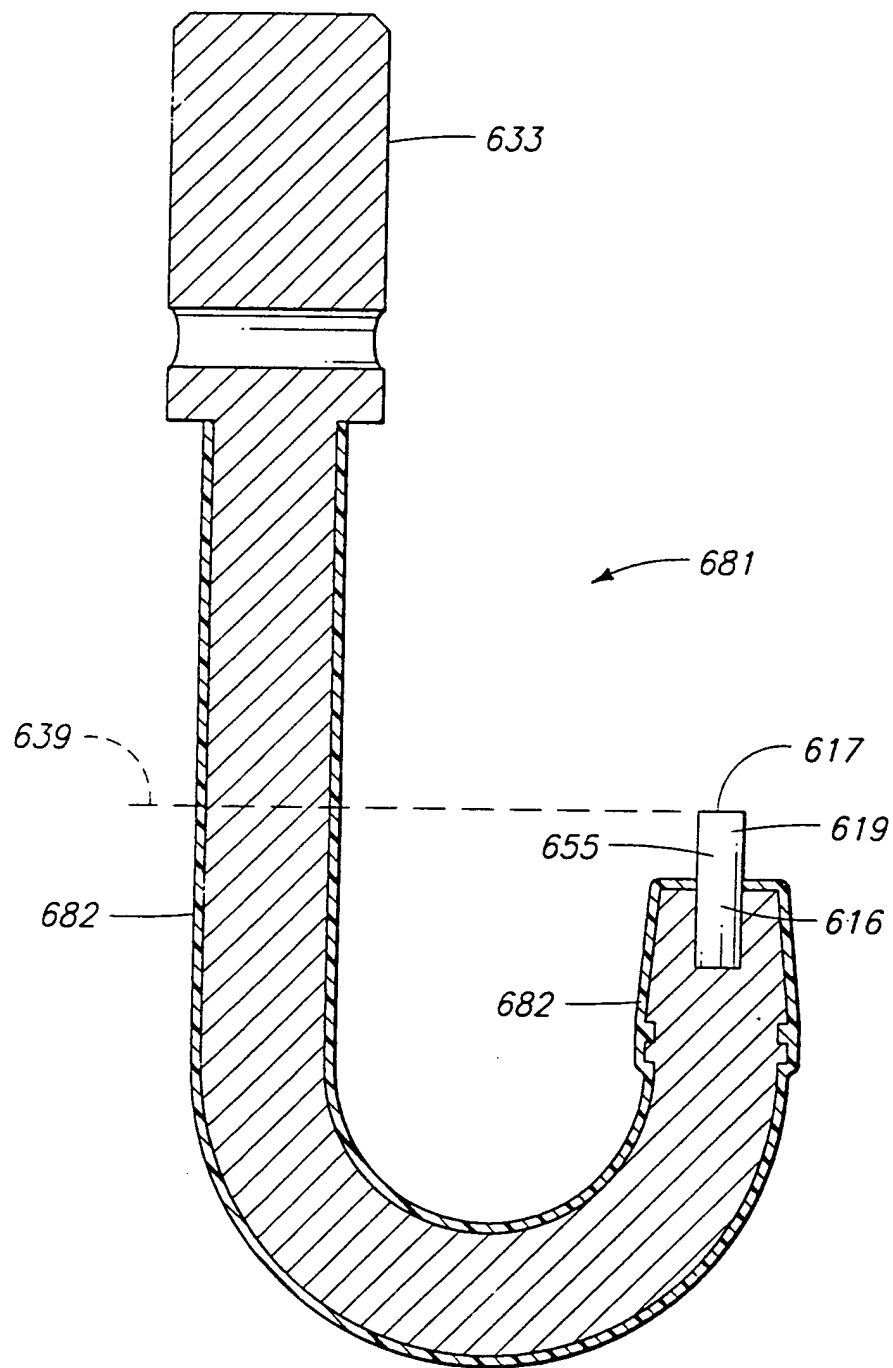
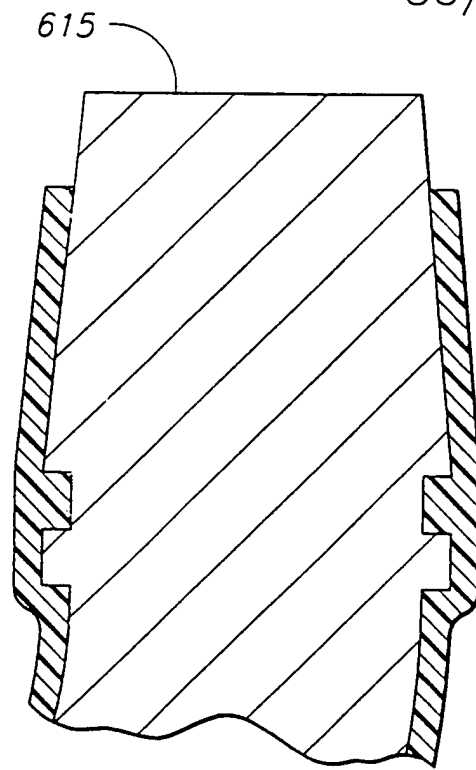


Fig. 36

35/38



614

FIG. 35

614

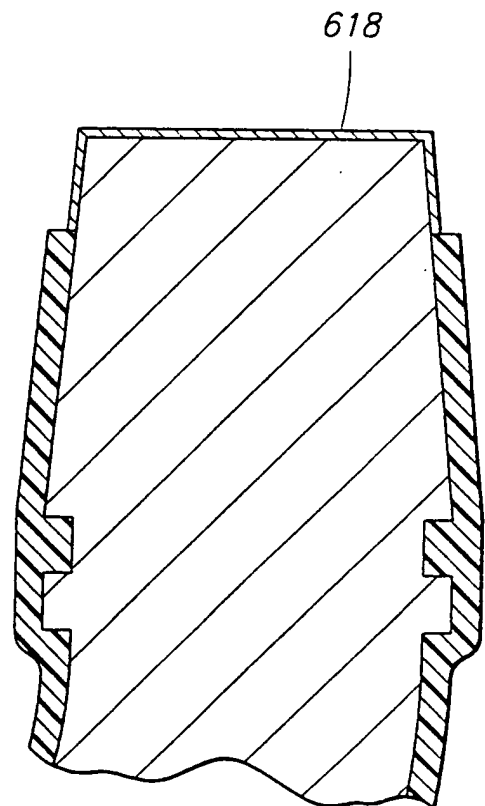


FIG. 38

36/38

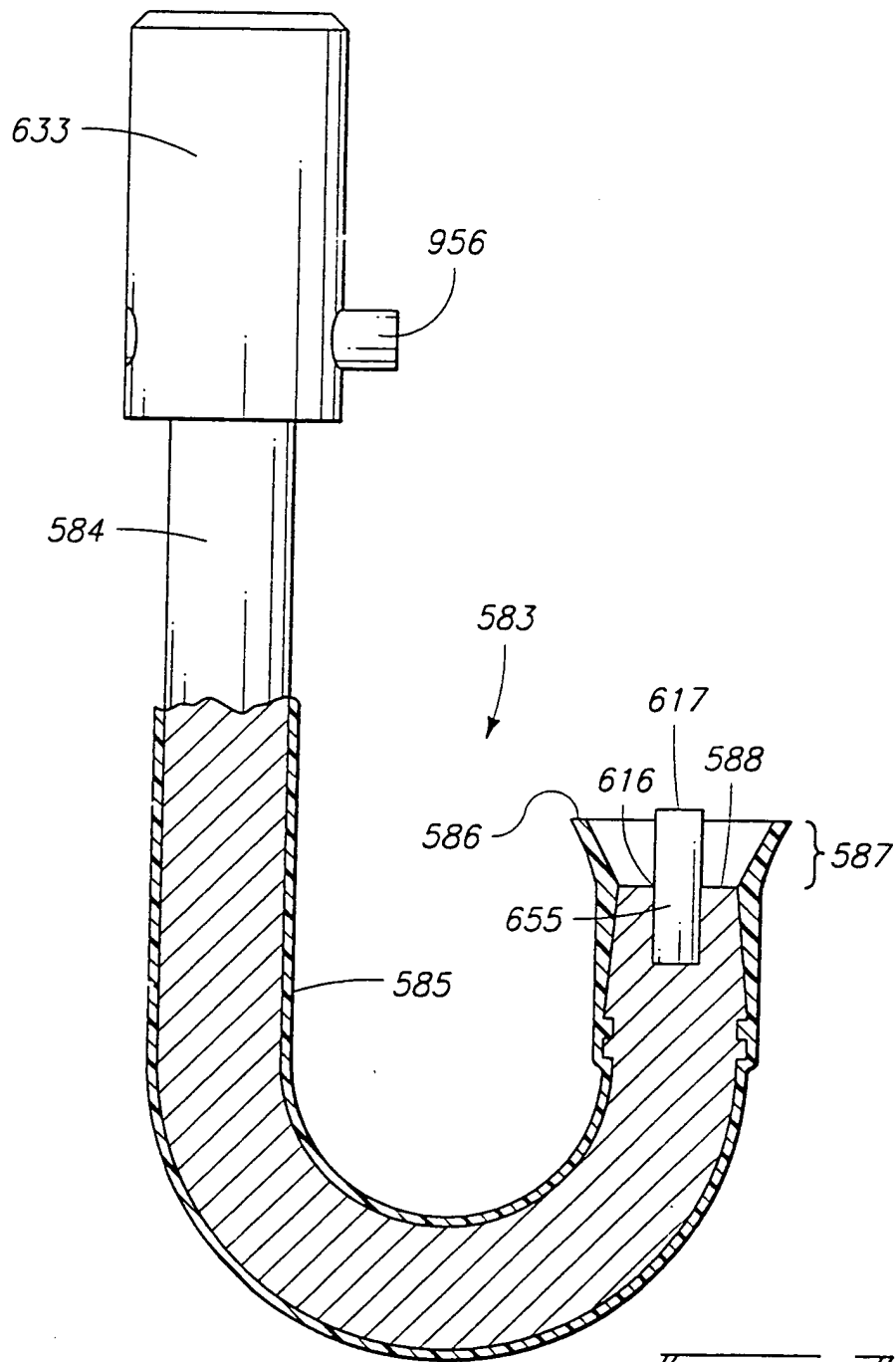


FIG. 39

37/38

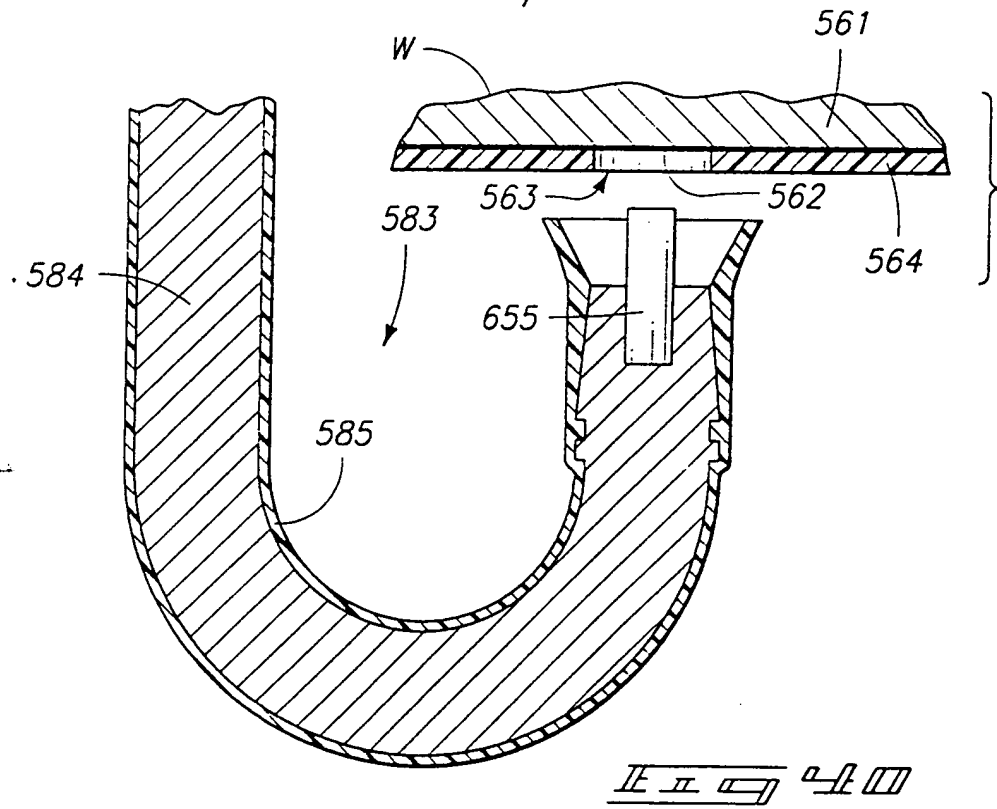


FIG. 37

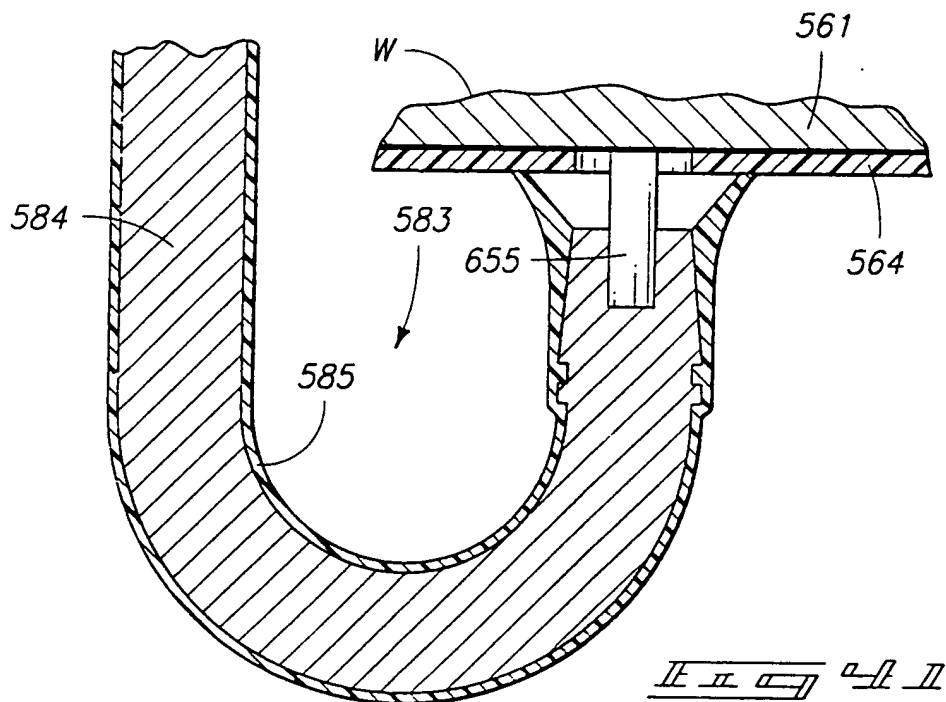


FIG. 38

38/38

